

PROJET
DE
FIN D'ETUDES
SUJET GC.0455
BATIMENT DESTINE
AU DECORTICAGE
DES ARACHIDE'S
PAR
M. SOULEYMANE DIOME
5^e ANNEE GENIE CIVIL 1980-1981
ECOLE POLYTECHNIQUE DE THIES

DIRECTEUR DU PROJET

M. S.A. BOULOS.

 *ecole polytechnique
de thies*

je dédie ce projet , à tous mes parents
je dédie également ce projet , à tout polytechnicien
qui a la connaissance juive d'chose et le
sens de la responsabilité — Sagesse - D'avoir —

REMERCIEMENTS

Je profite de cette page du projet pour présenter mes chaleureux remerciements à tous ceux qui de près ou de loin ont contribué à la bonne marche de ce projet. Et plus particulièrement je remercie :

- Monsieur S.A. BOULOS mon directeur de projet
- Monsieur ROGER LUPIEN par leur patience et leur collaboration dont j'ai pu bénéficier.

SOMMAIRE

Dans ce projet, nous nous proposons de faire l'étude d'un bâtiment en construction métallique destiné au déorticage des arachides. L'économie réalisée en poids et la rapidité des travaux sont à l'origine du choix de la construction métallique dans ce projet. Les trois grandes parties qui régissent l'étude sont : la partie structure, l'analyse ou le design, et le devis. La méthode de distribution de Hardy Cross et la méthode de Castigliano nous ont permis à faire l'étude du chargement. En ce qui concerne le design des divers éléments de la structure, nous avons pris en compte du code national du bâtiment du Canada et du code S16.1M78. L'utilisation des profils tubulaires dans notre étude se justifie par leur forte capacité portante, leur bonne résistance à la traction et à la compression, au flambage et leur coût peu élevé par tonne de charge. Toutefois la non disponibilité des profils tubulaires nous a conduit à faire le devis estimatif avec des profils IPE et UPN équivalents. C'est ainsi que nous avons obtenu un prix de 12615000^{FCFA}, ce qui est

toute fin pratique correspond à un prix au
mètre carré de 19468 F^xs CFA et à un prix
de 2102500 F^xs CFA par traverse de 6 mètres.

TABLE DES MATIERES

Rémerciements	i
Sommaire	ii
Introduction	1
Chapitre I	
A. Dimensionnement du bâtiment	
1 ^e Estimation de la capacité de l'usine	6
2 ^e Pente du comble	8
3 ^e hauteur, largeur, longueur du bâtiment	8
B. Choix d'un système	10
C. Pièces constituant le comble métallique	
1 ^e Espacement des cadres	11
2 ^e la couverture	12
3 ^e les pannes	13
Chapitre II : Chargement	
A. Etude du poids mort	
1 ^e Choix de l'inertie des membrures	16
2 ^e Calcul des coefficients de distribution $ca(i)$	19
3 ^e Distribution de Gross $ca(i)$	20
4 ^e Distribution de Gross $car(k)(i)$	22

	5 ^e Calcul des efforts dans les membrures	23
	6 ^e Diagrammes	25
<u>B.</u>	<u>Charges du vent</u>	
1 ^e	Système global	26
2 ^e	Système symétriquement chargé	28
3 ^e	Système anti-symétriquement chargé	30
4 ^e	Succion intérieure du bâtiment	32
5 ^e	Diagrammes finals	35

Chapitre III : Design

1 ^e	Choix de la nuance	37
2 ^e	Design des profiles - pannes	37
3 ^e	Etude du poids mort sur les cadres	41
4 ^e	Chargement critique	44
5 ^e	Design du cadre intérieur	46
6 ^e	Design du cadre de rive	48
7 ^e	Design des lisses	49
8 ^e	Système de contreventement	50

Chapitre IV : Fondations

A. Descr. des Charges

1 ^e	Cadre de rive	54
----------------	---------------	----

2^e Cadre intérieur

51

B. Etude des somallas

1^e Somallas du cadre intérieur

55

2^e Somallas du cadre de rive

56

Chapitre V. Etude intérieure du bâtiment

1^e Etude des profils longitudinaux

59

2^e Etude des profils transversaux

60

3^e Etude des poteaux intérieurs

60

Chapitre VI. Davis estimatif

66

Conclusions

69

ANNEXES

Annexe II

72

Annexe III

84

Annexe IV

111

Annexe V

128

BIBLIOGRAPHIE

133

PHOTOS DE LA SEIB-DIOURBEL

134

CHAPITRE I

A. DIMENSIONNEMENT DU BATIMENT

B. CHOIX D'UN SYSTEME

C. PIECES CONSTITUANT LE COMBLE
METALLIQUE

A. DIMENSIONNEMENT DU BATIMENT

1^e. Estimation de la capacité de l'usine

Nous supposons : - 24h de travail par jour
- 6 jours de travail par semaine dont une demi-journée le Samedi. Le travail de 24h par jour se fait par 3 équipes de 8h chacune.

$$\text{nombre d'heures de travail par semaine} : 5 \times 24h + 12h = 132h/\text{sem.}$$

nombre d'heures de travail du mois

$$132h/\text{semaine} \times 4 + 2 \text{jours} \times 24h/\text{jour} = 576h/\text{mois}$$

nombre d'heures de travail de l'année

$$576h/\text{mois} \times 12 \text{ mois} = 6912h/\text{an}$$

La capacité d'une décortiqueuse : 5.7t/heure

$$\text{soit } 5.7t/h \times 6912h/\text{an} = 39398.4t/\text{an}$$

Le choix de la capacité de l'usine dépendra du nombre de décortiqueuses

$$4 \text{ décortiqueuses} \quad 150.000t/\text{an}$$

$$6 \text{ décortiqueuses} \quad 200.000t/\text{an}$$

$$8 \text{ décortiqueuses} \quad 300.000t/\text{an}$$

Si nous choisissons la région du Sine-Saloum comme lieu fictif de l'implantation de l'usine de décorticage et tenant compte du fait que cette région fournit près de 50% de la production nationale en arachide, nous estimons qu'une capacité de 200.000 tonnes/an serait raisonnable.

Ceci renvoie à faire le dimensionnement du bâtiment pour 6 décortiqueuses. Notre intention n'étant d'avoir une usine qui fonctionnerait en permanence au rendement normal, nous n'avons pas choisi 8 décortiqueuses.

Dans tout ce qui peut nous dimensionner pour 6 décortiqueuses par une usine de capacité de 200.000t/an la chose des dimensions du bâtiment dépend cependant de plusieurs facteurs:

- disposition des machines
- type de chargement (charges du vent; charges mobiles)
- un bâtiment de décorticage est objet de poussière, par conséquent les dimensions doivent permettre un bon dégagement économique pour mettre les travailleurs dans de bonnes conditions.

2° - Pente du comble

La pente du comble pour les bâtiments industriels, comme le nôtre, dépend des charges (vent, neige, pluie). Nous nous bornons en ce qui concerne notre étude aux charges du vent et de la pluie. Pour un pays comme le Sénégal où les forces du vent ne sont pas d'une grande importance, le comble sera étudié pour permettre un déversement adéquat de la pluie sur toute la surface de couverture. A toute fin pratique une pente de 10 à 15% pourrait convenir.

Par la suite nous adoptons une pente de 10%.

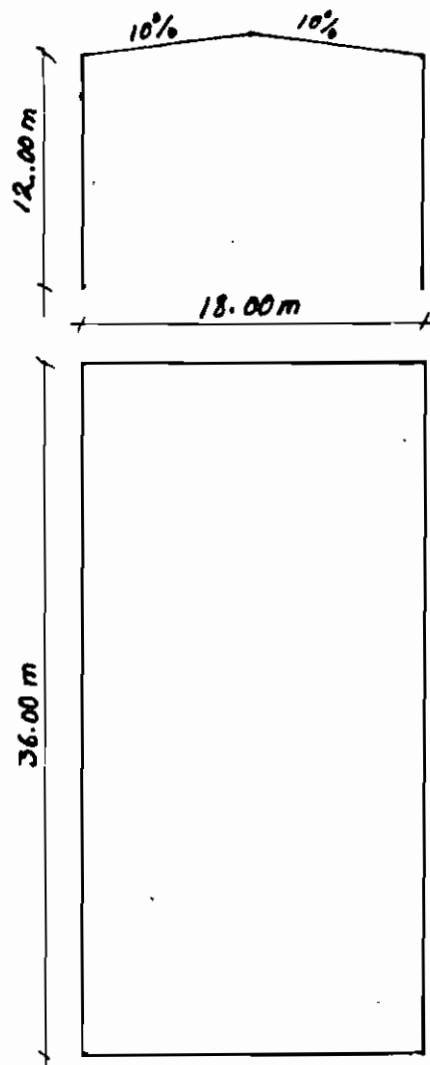
3° - hauteur - largeur - longueur du bâtiment

Tout le choix de ces dimensions repose sur l'ensemble nécessaire (système de machines) à l'intérieur du bâtiment. Sans entrer dans les détails, nous savons que compte tenu de la hauteur des machines, des dimensions des divers éléments de liaison; de l'espace permettant le transfert des produits fabriqués les dimensions de la figure 1 seront adoptées.

Les dimensions sont en conformité avec celles de la SEIB de DIOURBEL

Toute augmentation des dimensions à mon avis entraînerait un dégagement meilleur, mais en contre-partie augmenterait inutilement le coût de notre projet.

Figure 1



B - CHOIX D'UN SYSTEME

En structure, nous savons que lorsque le moment maximal à la base se produit sous des charges verticales, un encastrement augmenterait le moment. Cependant dans le cas de notre portique qui a une grande hauteur (12m), les moments maximaux ont lieu sous les poussées horizontales (vents) ; on est obligé de prévoir un encastrement. Ce qui nous entraîne à choisir un système hyperbolique et nous jugeons que les conditions du sol permettent d'avoir un encastrement parfait.

C. PIECES CONSTITUANT LE COMBLE METALLIQUE

Le comble doit supporter un certain nombre de pièces depuis celles de plus petite portée portant directement la couverture jusqu'aux pannes maîtresses. Pour une facilité d'exécution dans les travaux, de main d'œuvre, d'économie de poids, nous préférions utiliser des cadres. L'espacement sera à déterminer dans les parties suivantes.

1^e Espacement des cadres

Le choix de l'espacement dépend de la portée des pannes que supportent les cadres. Nous avons estimé que compte tenu de la longueur du bâtiment et de la portée maximale des pannes, un espacement de 6 m serait convenable. Avec une telle portée, des profils simples pourraient être utilisés éliminant les tringles dont l'exécution est onéreuse.

2° la couverture

Une comparaison du zinc avec les couvertures croissantes montre que le zinc constitue certes un choix économique. Il est bon de citer quelques avantages de la couverture en zinc.

- le zinc apporte une protection pour toutes les pentes
- légèreté
- l'air ne l'attaque pas à la température ordinaire
- frais d'entretien insignifiants

La charge de rupture du zinc est de 16 kg/mm^2

(voir livre "Charpente métallique" de
P. LABARRAQUE page 95)

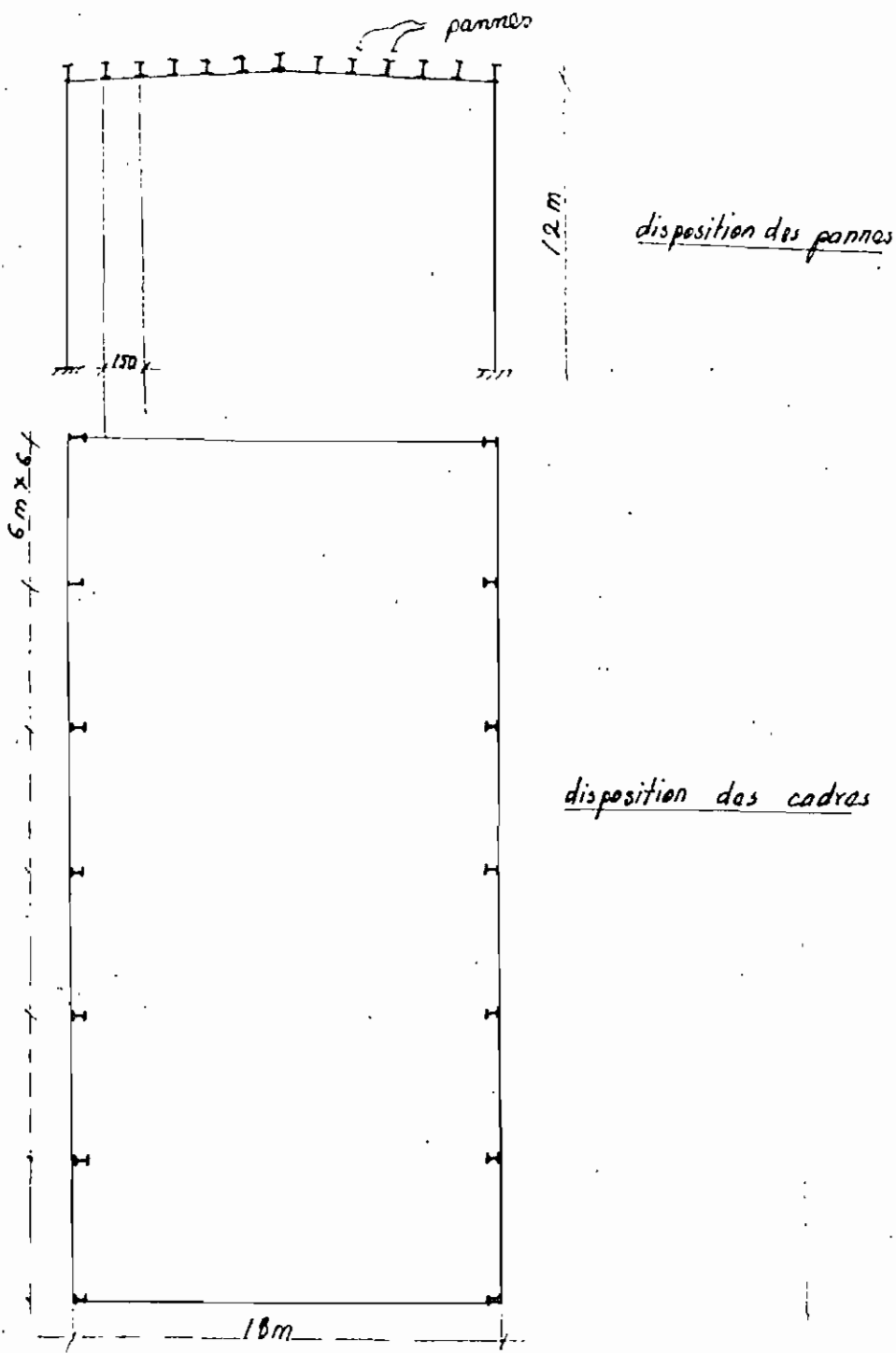
3^e Les pannes

Les pannes sont les profils sur lesquels reposent directement la couverture. Elles reposent sur les cadres. L'écartement des pannes dépend du type de couverture et de leur portée. Dans ce qui suit nous choisirons le zinc n°13 d'épaisseur 0.74mm et un poids au m^2 de 5.18kg. dimensions $2m \times 0.5m$. On a donc en tenant compte des dimensions de la feuille de zinc et du recouvrement, on pourra choisir un écartement de 3.5m et la portée des pannes, comme mentionnée au paragraphe de 6m.

(détails sur le zinc tirés du livre "Charpente métallique" P. LABARRAQUE p. 85)

Tome II

figure 2.



CHAPITRE II

CHARGEMENT

A. ETUDE DU POIDS MORT

B. CHARGES DU VENT

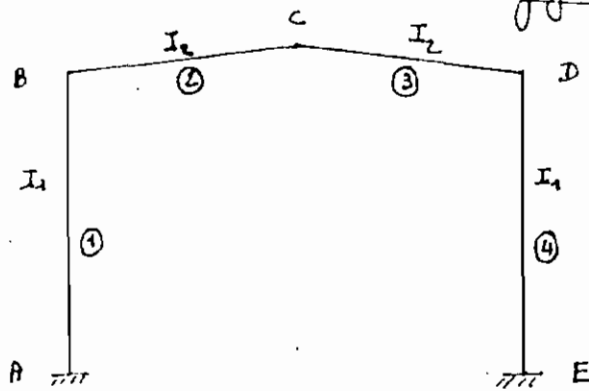
A. ETUDE DU POIDS MORT

1^o Choix de l'inertie des membrures

Pour connaître l'inertie des membrures, il nous faut connaître la nature du chargement. Nous procéderons par essais successifs pour pouvoir faire un choix judicieux de l'inertie de chaque membrure constituant le cadre.

Dans cette étude, nous utiliserons la méthode de distribution de Hardy Cross et il faudra alors calculer le coefficient de distribution au niveau de chaque nœud.

figure 3



Dans un premier temps, on suppose un rapport d'inertie égal à 1 ($I_1 = I_2 = I$)

1-a Calcul des coefficients de distribution

membres	①	②	③	④
$\frac{1}{l}$	$\frac{1}{12}$	$\frac{1}{9.04}$	$\frac{1}{9.04}$	$\frac{1}{12}$
noeuds	A	B	C	D
$\Sigma \gamma$		0.194	0.221	0.194
coefficients α		BA BC CB CD DC DE		
		0.429 0.571 0.5 0.5 0.571 0.429		

$$\text{noeud B} \quad \Sigma \gamma = \Sigma \frac{1}{l} = \frac{1}{12} + \frac{1}{9.04} = 0.194$$

$$\text{noeud C} \quad \Sigma \gamma = \frac{1}{9.04} + \frac{1}{9.04} = 0.221$$

coefficients de distribution

$$\text{membre AB: } \alpha = \left(\frac{1}{12} \right) / 0.194 = 0.429$$

$$\text{membre BC: } \alpha = \left(\frac{1}{9.04} \right) / 0.194 = 0.571$$

$$\text{membre CB: } \alpha = \left(\frac{1}{9.04} \right) / 0.221 = 0.5$$

$$\alpha_{BE} = \alpha_{BA}$$

$$\text{pente du comble} = 10\% = \text{angle } \theta$$

$$9.04 = \frac{g}{\cos \theta}$$

Calcul des moments d'enca斯特rement M_F

Nous supposons pour l'instant une charge uniformément répartie égale à l'unité.

$$M_{FBC} = \frac{w L^2}{BC/12} = -1 \times \frac{9}{12} = -6.75 \text{ N.m}$$

$$M_{FAC} = M_{FDC}$$

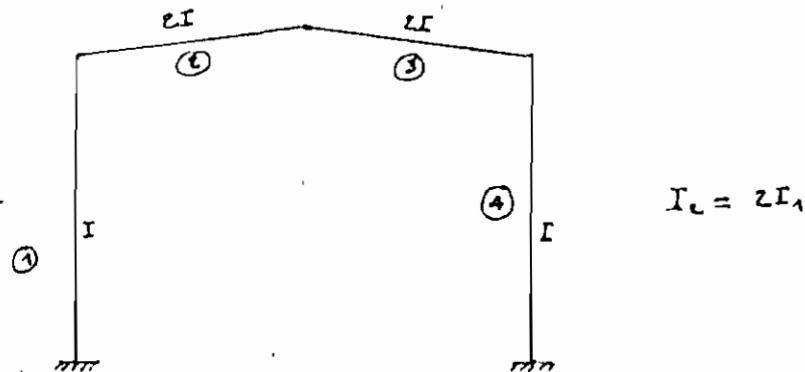
1-b Distribution de Cox

node	A	B	C	D	E			
mambururas	AB	BA	BC	CB	CD	DC	DE	ED
coefficients d		0.429	0.5H	0.5	0.5	0.5H	0.429	
FEM			-6.75	+6.75	-6.75	+6.75		
	1.448	2.896	3.847		-3.847	-2.896	-1.448	
	-0.198		0.9615	1.923	-1.923	-0.9615		
		-0.396	-0.548	-0.274	+0.274	0.548	0.396	0.198
	+0.0294	0.0587	0.079			0.137		
					-0.078	-0.0577	-0.0294	
total	1.2794	2.559	-2.55	0.399	-0.399	2.55	-2.559	-1.2794

après cette distribution, nous nous rendons compte que le moment augmente de B à C, dans un rapport de 3, nous adoptons un rapport d'inertie

de 2, comme ci-dessous.

fig. 4



8/ Calcul des coefficients de distribution $co(i)$

membres	①	②	③	④			
$\frac{1}{L}$	$\frac{1}{12}$	$\frac{2}{9.04}$	$\frac{2}{9.04}$	$\frac{1}{12}$			
nœuds	A	B	C	D			
$\sum \frac{1}{L} = \sum p$		0.304	0.442	0.304			
coefficients de distribution		BA 0.274	BC 0.726	CB 0.5	CD 0.5	DC 0.726	DE 0.274

On reprend la distribution de Gross avec un rapport d'inertie de 2. (Voir tableau suivant.)

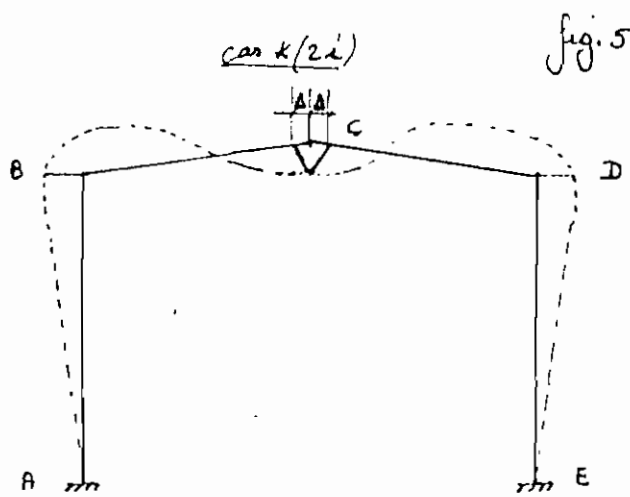
ecole polytechnique
EP de toulouse

2° Distribution des charges

nodes	A	B	C	D	E
membrures	AB	BA	BC	CD	DE
coefficients d'					
FEM		-6.75 + 6.75	-6.75 + 6.75		
	+ 6.925	+ 2.849	+ 4.9	-4.9	- 1.849 - 0.925
	- 0.168	- 0.336	1.225 - 0.889	2.45 - 2.45 + 0.889	- 1.225 0.236 D. 168
	+ 0.0305	+ 0.0609	- 0.222 + 0.1615	- 0.445 + 0.445 + 0.222 - 0.1615	+ 0.222 - 0.069 - 0.0305
Total	0.388	1.58	- 1.58 + 8.755	- 8.755 1.58 - 1.58	- 0.788

N.B On remarque que le moment à l'enca斯特rement à diminué. Par contre le rapport des moments dans les membrures AB et BC a augmenté. Il ne plane la difficulté à obtenir un encastrement parfait, la diminution du moment est un avantage. Mais préférera donc conserver ce cas (rapport d'inertie = 2)

Dans les distributions précédentes, nous avions supposé que grâce à des forces de fixation fictives, il n'y avait aucun déversement, ce cas nous l'appelons cas(i). Dans le cas qui va suivre, cas k(2i), nous enleverons les forces de fixation et nous obtiendrons le schéma suivant.



moments d'encaissement

$$M_{FAB} = M_{FBA} = - \frac{6EI}{L_{AB}^2} \Delta = - 0.417 EI \Delta$$

$$M_{FAC} = M_{FCB} = + \frac{6EI\Delta}{L_{CB}^2} = 0.0734 EI \Delta$$

$$M_{FCD} = M_{FDC} = - 0.0734 EI \Delta$$

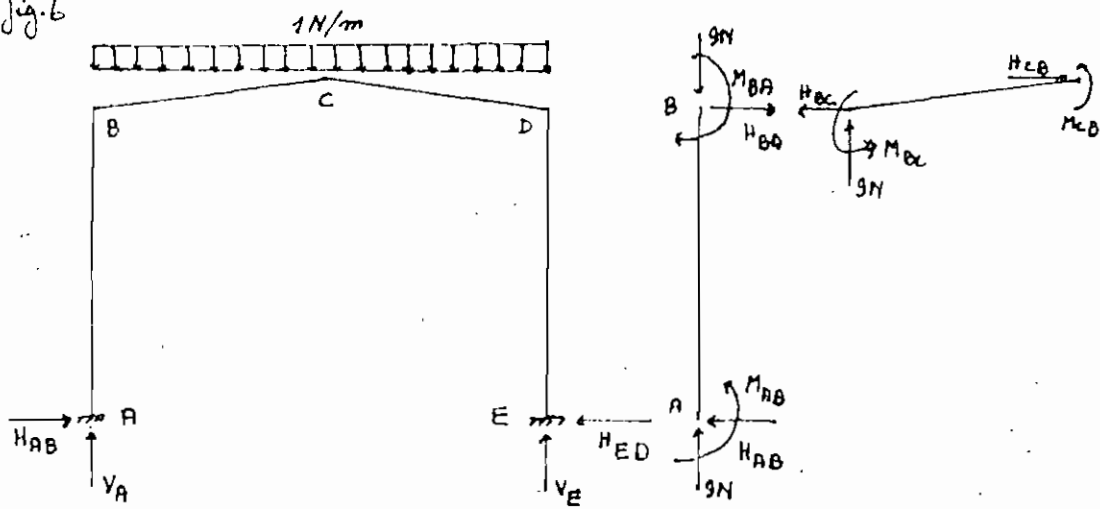
$$M_{FED} = M_{FDE} = + 0.417 EI \Delta$$

4º Distribution cask(z)

nœuds	A	B	C	D	E			
membres	AB	BA	BC	CB	CD	DC	DE	ED
coefficients		0.274	0.726	0.5	0.5	0.726	0.274	
FEM	-417	-417	73.4	73.4	-73.4	-73.4	417	417
	47.07	94.15	249.45			-249.45	-94.15	-47.07
	-5.545	62.36				-62.36		
	-17.09	-45.28				+45.28	+17.09	+8.545
	1.55	3.10	-11.32			+11.32		-1.55
			3.22			-3.22	-3.10	
	-0.29	2.055				-2.055		+0.28
	0.563	-1.492				+1.492	0.563	
	+0.0511	-0.373				+0.373		-0.0511
	+0.102	+0.27				-0.27	-0.102	
	-377.15	-337.3	337.3	173.854	-178.854	-337.3	+337.3	377.15

5.2 Calcul des efforts dans les membrures

Fig. 6



$$\text{eq. } H_{BA} + H_{CB} = 0$$

$$H_{BA} = \frac{M_{AB} + M_{BA}}{12}$$

$$\Sigma M_c = 0 \quad 9 \times 9 / 2 + H_{BC} \times 2.9 - 9 \times 9 + M_{CB} + M_{BC} = 0$$

$$H_{BC} = \frac{40.5 - (M_{CB} + M_{BC})}{0.9}$$

L'équilibre au nœud , devient

$$(1) \quad (M_{AB} + M_{BA}) - 19.33 (M_{CB} + M_{BC}) = -540$$

Les moments finaux dans les membrures sont obtenus en additionnant les $c_{ao}(i) + k c_{ao}(2i)$

k est une constante que nous allons déterminer

$$M_{AB} = -0.788 - 377.15 k$$

$$M_{BA} = -1.58 - 337.3 k$$

$$M_{BC} = +1.58 + 337.3 k$$

$$M_{CB} = -8.755 + 178.854 k$$

$$M_{AB} + M_{BA} = -2.368 - 714.45 \text{ k}$$

$$M_{CA} + M_{AC} = -7.175 + 516.154 \text{ k}$$

En substituant dans l'équation (1) on obtient

$$[h = 0.0834]$$

$$M_{AB} = -32.24 \text{ N.m} = M_{ED}$$

$$M_{BA} = -29.71 \text{ N.m} = M_{DE}$$

$$M_{BC} = +29.71 \text{ N.m} = M_{DC}$$

$$M_{CB} = +6.161 \text{ N.m} = M_{CD}$$

efforts tranchants

$$H_{AB} = \frac{M_{AB} + M_{BA}}{12} = \frac{32.24 + 29.71}{12} = 5.16 \text{ N} \rightarrow$$

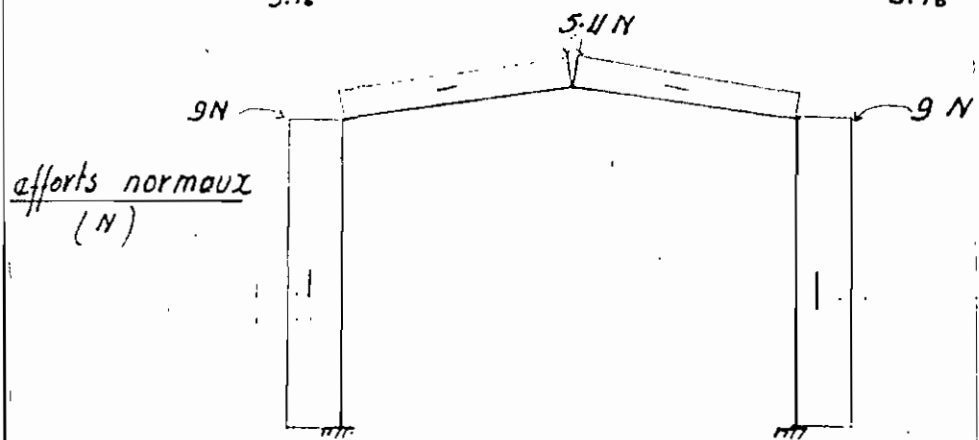
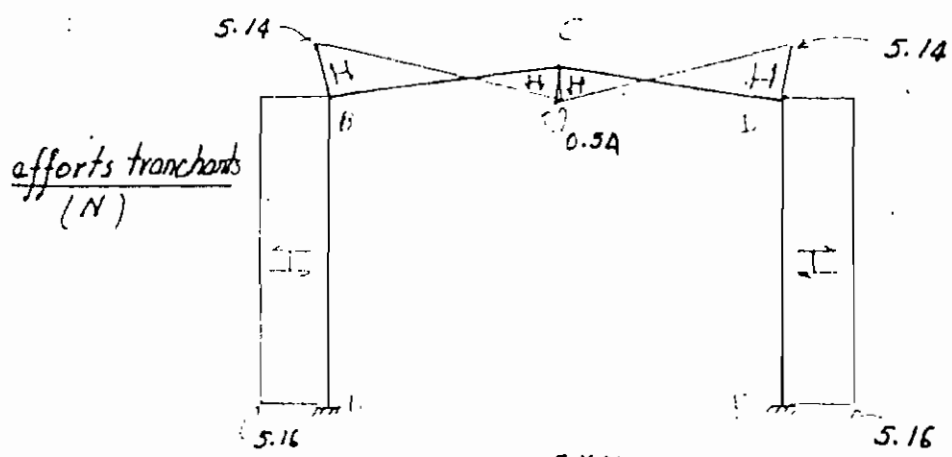
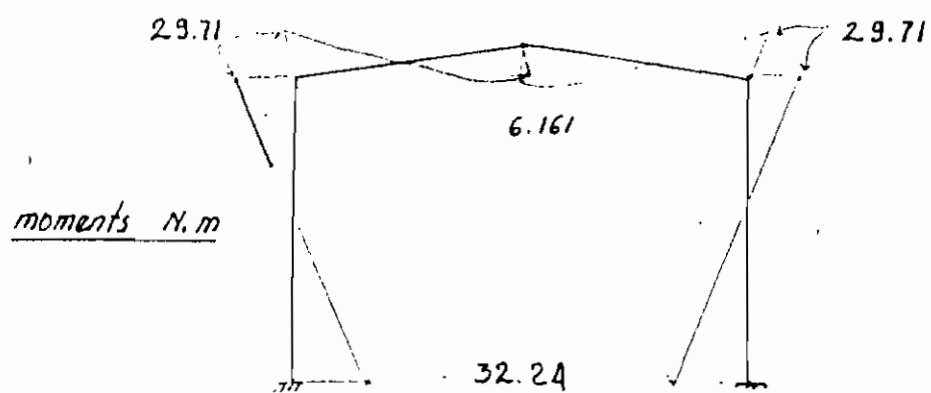
$$H_{BA} = 5.16 \text{ N} \leftarrow$$

$$H_{DC} = \frac{40.5 - (M_{DC} + M_{CD})}{0.9} = 5.14 \text{ N}$$

R.P.S = réaction par poutre simple

$$\text{R.P.S} = H_{CB} = R.P.S \cdot 1 + \frac{29.71 + 6.161}{9.04} = 0.54 \text{ N}$$

Mais présentons par la suite les diagrammes finaux unitaires.

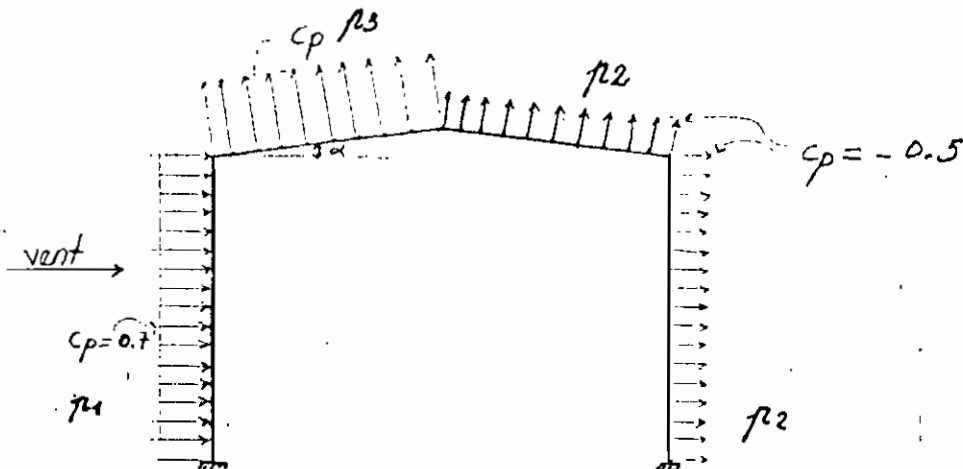
6^e Diagrammes

Diagrammes finaux unitaires

B. ETUDE DES CHARGES DU VENT

Tous les calculs sont basés sur le code Canadien. Nous utilisons la vitesse maximale du vent étendue sur au moins 10 ans pour fin de design. Les données qui nous sont fournies par le Bureau de la Climatologie à DAKAR sur la vitesse du vent dans la région du Sine Saloum nous permettent de faire les calculs sur une vitesse de 30 KM/H. N.B. cette vitesse est faible et assez douteuse, on pourrait par faire le design avec une vitesse de 60 KM/H.

1^e Système global



Le coefficient C_p varie avec l'angle α
 $\tan \alpha = 0.1 \Rightarrow C_p = -1$

Appiquant la formule du code canadien, la pression due au vent $P = C_e C_g C_p q$

C_e = facteur d'exposition = 1.1

C_g = coefficient de raple = 2.0

C_p = coefficient de pression extérieure (ou de puccion)

q = pression de référence = $50 \times 10^{-6} V^2 \text{ kN/m}^2$

En se référant à la figure précédente

$$P_1 = 1.1 \times 2.0 \times 0.7 \times 50 \times 10^{-6} V^2 = 7.7 \times 10^{-5} V^2 \text{ kN/m}^2$$

$$P_2 = 1.1 \times 2.0 \times (-0.5) \times 50 \times 10^{-6} V^2 = -5.5 \times 10^{-5} V^2$$

$$P_3 = 1.1 \times 2.0 \times (-1) \times 50 \times 10^{-6} V^2 = -1.1 \times 10^{-4} V^2$$

Nous faisons d'abord l'étude du cadre intérieur

La surface exposée est de $\frac{1}{2}(6m+6m) = 6m$ de long

Nous obtenons ainsi la charge uniformément répartie sur chaque partie du cadre.

$$P_1 = 7.7 \times 10^{-5} V^2 \times 6 = 4.62 \times 10^{-4} V^2 \text{ kN/m}$$

$$P_2 = -5.5 \times 10^{-5} V^2 \times 6 = -3.3 \times 10^{-4} V^2 \text{ kN/m}$$

$$P_3 = -1.1 \times 10^{-4} V^2 \times 6 = -6.6 \times 10^{-4} V^2 \text{ kN/m}$$

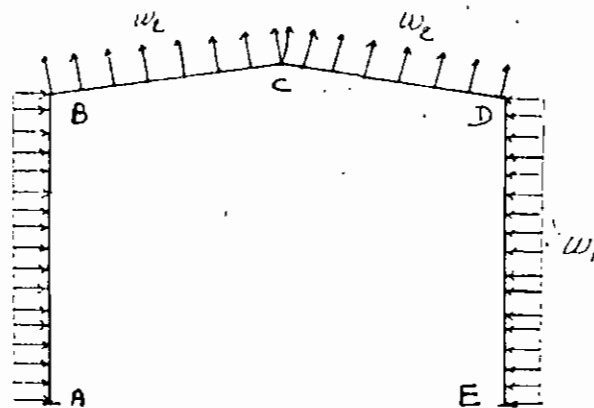
Pour faciliter l'étude nous transformons le système global en un système symétriquement chargé (C.S.S.C) et un système antisymétriquement chargé (C.S.A.C)

2e. Système symétriquement chargé

$$w_1 = \frac{P_1 + P_2}{2} = 0.66 \times 10^{-4} V^2 KN/m$$

$$w_2 = \frac{P_3 + P_4}{2} = -4.95 \times 10^{-4} V^2 KN/m$$

V en KM/H



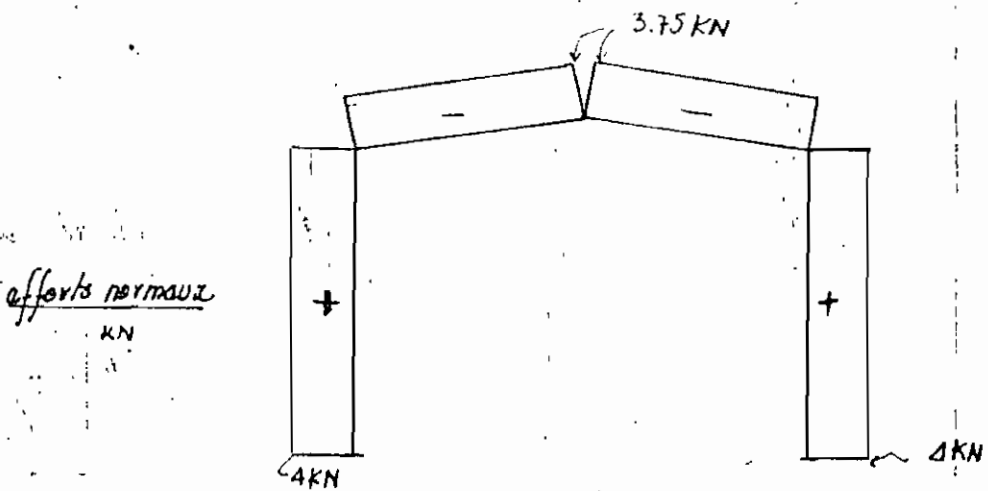
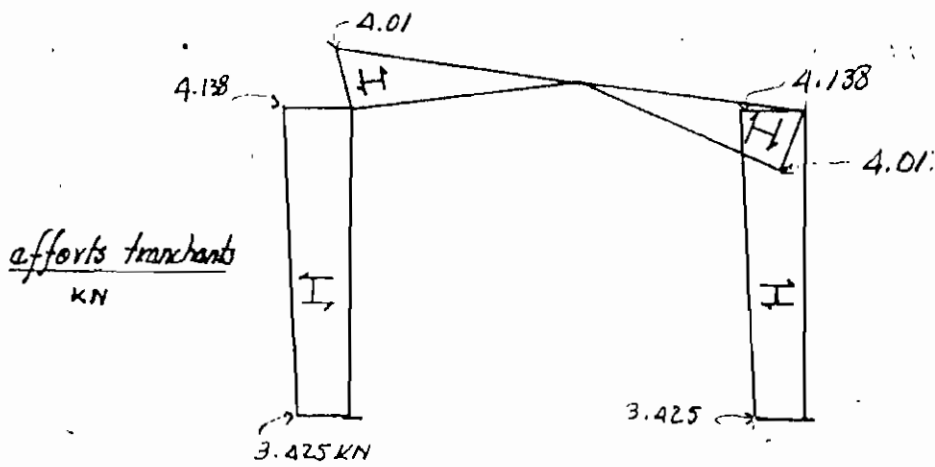
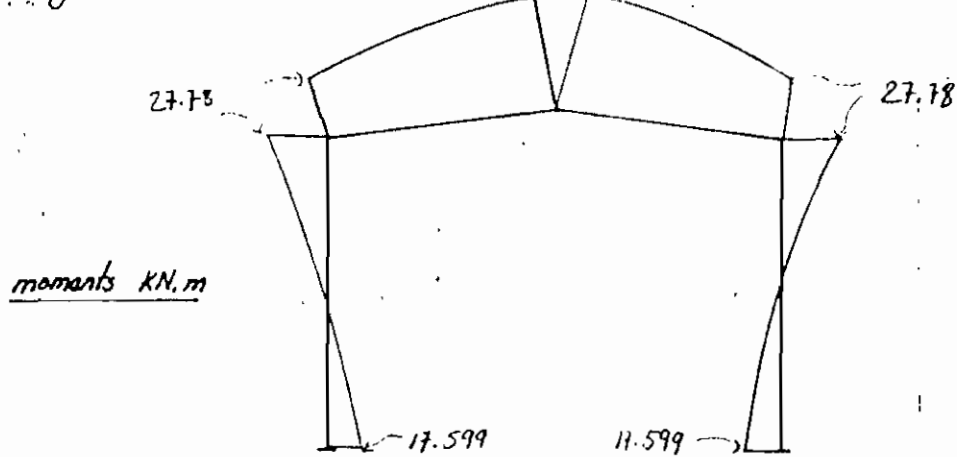
C. S. S. C.

Les calculs sont développés en annexe II.B.2 page 73 nous arrivons aux résultats suivants en c :

$$M = -\frac{w_2 \times L^3}{8H} - \frac{w_1 \times H^2}{12} - \frac{w_2 \times L^2}{8} \quad (1)$$

$$N = \frac{1}{H^2 \times \text{const}} \left[\frac{w_1 \times H^3}{2} + \frac{3w_2 \times L^3}{16} \right] \quad (2)$$

Diagrams C.S.S.C



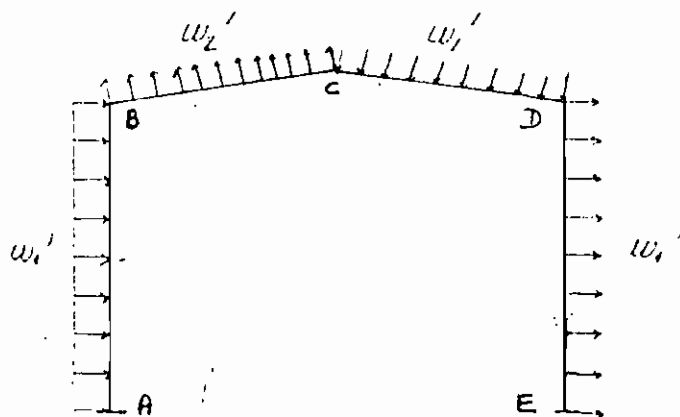
(chargement voire page 23)

3^e Système anti-symétriquement chargé

$$w_1' = \frac{P_1 - P_2}{2} = 3.96 \times 10^{-4} V^2 \text{ KN/m}$$

$$w_2' = \frac{P_3 - P_2}{2} = -1.65 \times 10^{-4} V^2 \text{ KN/m}$$

V = vitesse du vent en KM/H



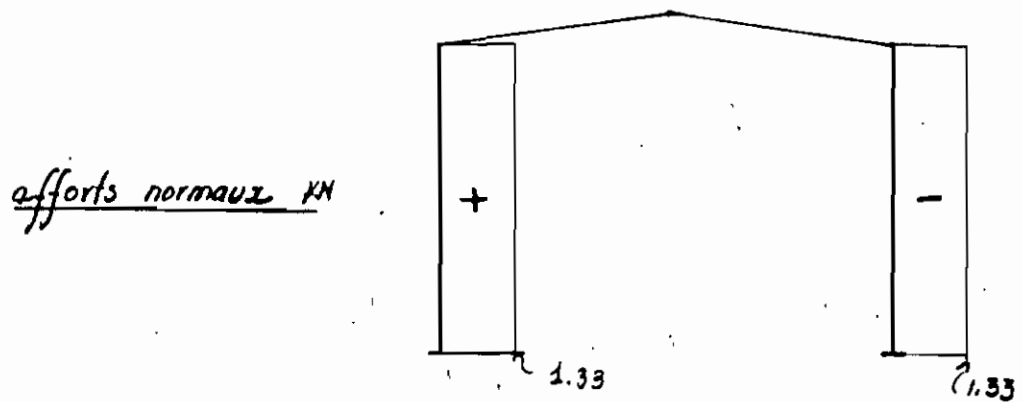
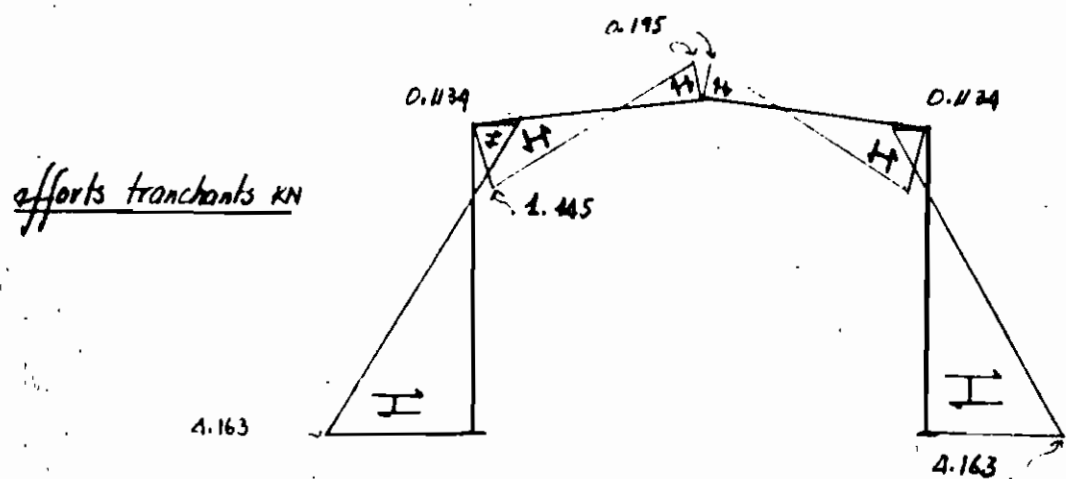
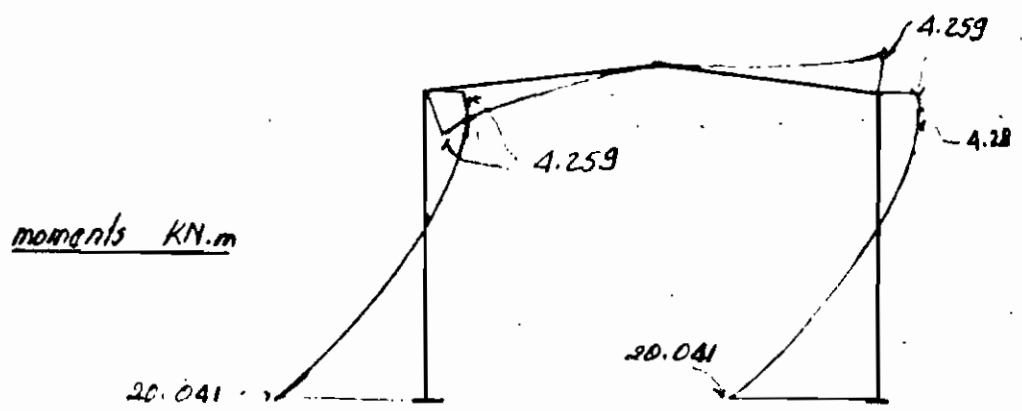
C. S. A. C

Pour l'étude de ce système, le moment et l'effort normal à l'axe de symétrie sont nuls (au point C). Nous avons développé les calculs en annexe II.B. 3^e page 78

Pour ce système, l'effort tranchant est :

$$V = \left[\frac{w_1' H^3}{3} - \frac{w_2' L^3}{64} - \frac{w_2' L^2 H}{4} \right] \times \frac{1}{\frac{L^2}{12} + L \times H}$$

Diagrammas C. S. A. C



4. Suction à l'intérieur du bâtiment

Pour cette étude, nous supposons les ouvertures réparties uniformément sur les côtés. On se ramène à un système symétrique symétriquement chargé.

D'après le code national du Canada

$$p_u = C_a \rho_i q$$

$$C_a = 1.1$$

$$\rho_i = 0.3$$

$$q = 50 \times 10^{-6} V^2 \text{ kN/m}^2$$

La vitesse de design est 30 km/h

$$p_u = 14.85 \text{ N/m}^2$$

Nous avons déjà fait l'étude du système symétriquement chargé. Dans les formules précédemment établies (1) et (2) page 28 nous remplaçons w_1 par $-w_1$ en posant $w_1 = w_2 = 14.85 \text{ N/m}^2 \times 6 \text{ m}$

$$w_1 = w_2 = 89.1 \text{ N/m}$$

Les calculs figurent en annexe voir page 83

au point C

$$N = 142.708 \text{ N}$$

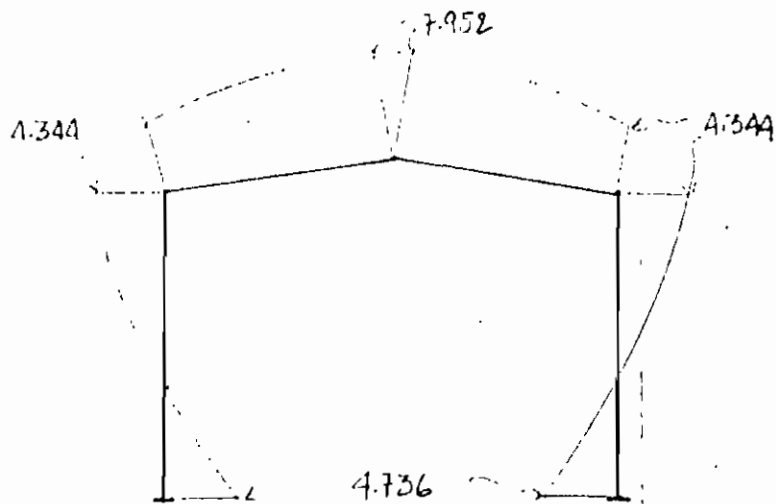
$$M = -7952.175 \text{ N.m}$$

$$V = 0$$

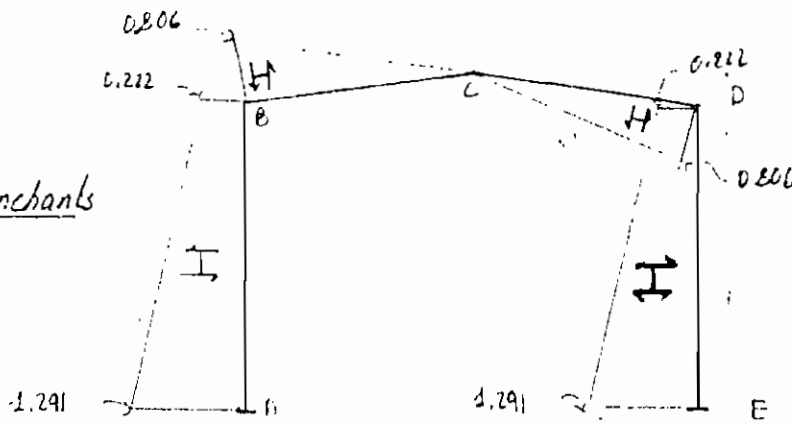
Les calculs des efforts pour les diverses membrures
sont présentés en annexe page 83

Diagrammes finals de succion

moments KN.m

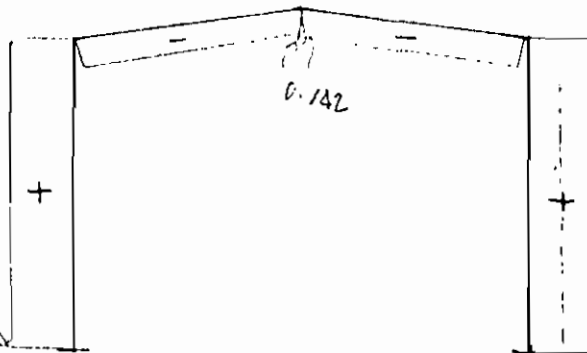


efforts tranchants
KN



efforts normaux
KN

(chargement voire p 83)



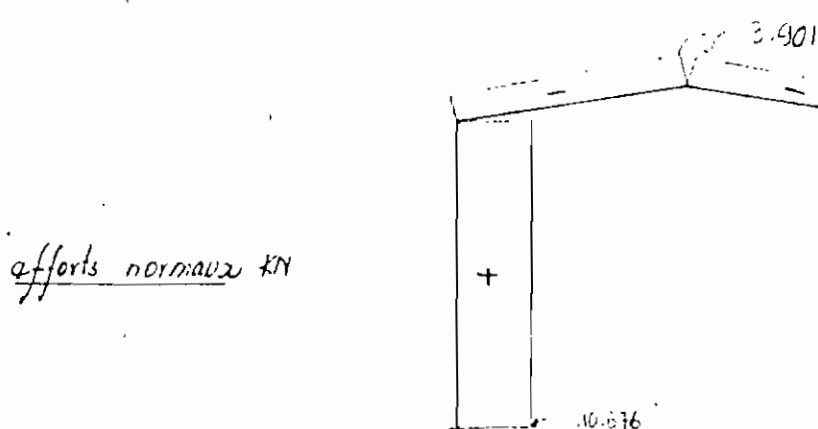
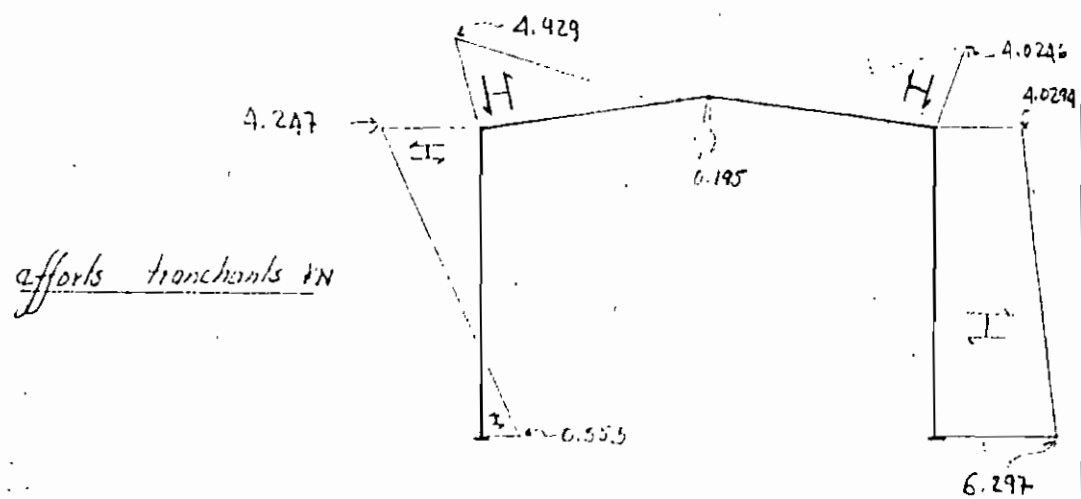
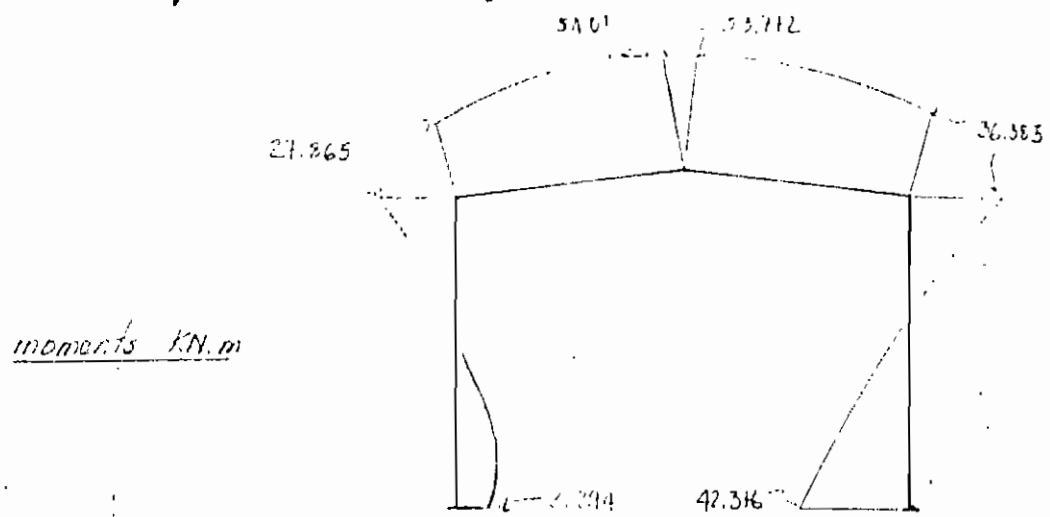
5° effet du vent

La pression du vent crée une pression externe sur la surface extérieure (que nous avons représenté par un système symétriquement chargé et un système anti-symétriquement chargé) et une pression due aux ouvertures à l'intérieur du bâtiment.

La superposition : - du système symétriquement chargé
- du système antisymétriquement chargé
- de la pression à l'intérieur

donne l'effet final du vent sur le bâtiment d'après les diagrammes suivants page 35

effet du vent - Diagrammes finaux



(chargement vase pages 26 et 83)

CHAPITRE III

DESIGN

1^e Choix de la nuance

Le choix de la nuance dépend du type de construction. Pour notre bâtiment nous préférerons les aciers soudables garantissant un soudage adéquat. (acier de type W)

Nous savons que le prix des profils augmente avec la limite élastique. Nous utiliserons pour cette raison l'acier G40.21M 260W de la norme ACNOR.

Toute modification future à ce choix sera l'objet de mention spéciale. Donc dorénavant, avec un tel choix nous obtiendrons un bon rapport (Prix/limité élastique).

2^e Design des profils-panses

Pour le calcul des profils-panses les charges à considérer sont :

- le poids propre
- la couverture
- le vent.

Compte tenu de la portée du bâtiment on a accès sur le toit à l'intérieur et à l'extérieur. Donc le poids mort et la charge du vent se retrouvent

-10

Nous savons que le "poids" est notre ennemi en construction. Par conséquent notre choix de profilé sera toujours guidé par le poids, nous choisirons les profilés les plus légers.

Choix d'un profilé 575 x 11

Les calculs figurent en annexe page 84

$$- \text{Poids mort} \quad 178.185 \text{ N/m}$$

$$- \text{ pression du vent} \quad 170.25 \text{ N/m}$$

La combinaison du vent et du poids mort donne $w = 7.935 \text{ N/m}$

Lorsque seul agit le poids mort

$$w = 178.185 \text{ N/m}$$

$$\text{d'où } M_{\text{max}} = wL^2/8 = 801.833 \text{ N/m}$$

$$V_{\text{max}} = 534.533 \text{ N}$$

Avec le moment obtenu on peut calculer le module de section Z_a .

$$Z_a = \frac{M_{max}}{\phi F_g} = \frac{801.833 \times 10^3}{0.9 \times 260} = 3.427 \times 10^3$$

Les tables du 'catalogue CISG' donnent des modules de section largement plus grands. Ce qui nous conduit à choisir des profils de type minimal.

Choix de 575 x 11 $Z_a = 31.9 \times 10^3 \text{ mm}^3$

En faisant toutes les vérifications imposées par le code Canadien, on se rend compte que ce choix n'est pas correct. (voir annexe III. 2c)

Les diverses vérifications à faire sont basées sur le fait que les contraintes en charge actuelles ne doivent pas dépasser celles qui sont admissibles pour le type de profilé. On vérifie

- la classe du profilé
- $M_u > M_p$
- Contraintes normales transversales
- Contraintes tangentielle et flèche

Les calculs figurent en annexe. voir page. 84.

3^e Etude du poids mort sur les cadres

Nous étudierons d'abord les cadres intérieurs

Chaque cadre supporte une longueur de pannes de 6 m. En se référant à la figure ci-dessous on se rend compte qu'on a 13 profils sur le cadre.

Sont un poids total de : $10 \text{ kg/m} \times 6 \text{ m} \times 9.81 \times 13 = 6121.44 \text{ N}$

Sont un poids au mètre linéaire de cadre

$$\text{de } \frac{6121.44 \text{ N}}{18 \text{ m}} = 340.08 \text{ N/m}$$

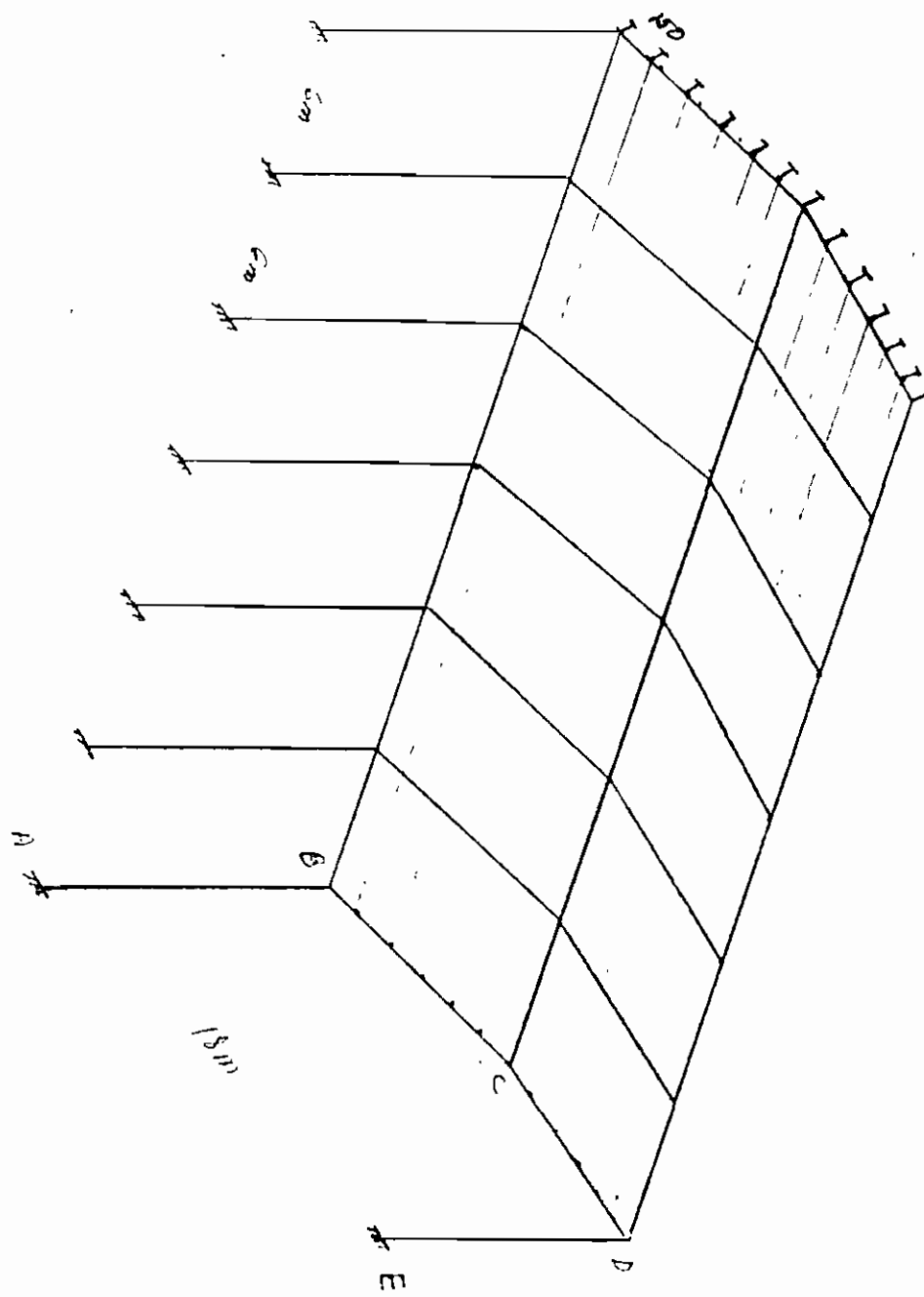
Nous allons calculer le poids mort en supposant une charge uniformément répartie égale à l'unité. Il faut par conséquent trouver le facteur multiplicatif qui va nous permettre les charges finales dues au poids mort.

Calcul du facteur multiplicatif

- poids des profils	340.08 N/m
- couverture	$95.28 \text{ N/m} = 50.816 \text{ N/m}^2 \times 1.5 \text{ m} \times \frac{1}{1.25}$
- imperméabilisation, isolation	$225 \text{ N/m} = 150 \text{ N/m}^2 \times 1.5 \text{ m} \times 1.25$
- éléments mécaniques suspendus	$375 \text{ N/m} = 200 \text{ N/m}^2 \times 1.5 \text{ m} \times 1.25$
<u>total</u>	<u>1035.36 N/m</u>

poids de couverture : 5.18 kg/m^2

Perspective du bâtiment



Les charges trouvées à la page 25 sont des charges unitaires. Avec le facteur multiplicatif trouvé à la page 41, on obtient les charges finales pondérées dues au poids mort.

Tableau III.1 chargement D pondéré

membres	HA	HJ	PC	PA	CL	DC	PF	FD
moments KN.m	33,38	30,760	30,76	6,379	6,379	30,76	30,76	33,38
efforts tranchants KN	5,342	5,342	5,322	0,559	0,559	5,322	5,342	5,342
efforts normaux KN	9,318	9,318	5,29	5,29	5,29	5,29	9,318	9,318

- compression

Après avoir calculé la charge D et la charge du vent Q, le problème est maintenant de trouver la combinaison la plus critique.

N.B. Les charges du tableau III.1 sont obtenues en multipliant les charges de la page 41
(voir annexe page 89).

4. Charnement critique

D'après le code CAN3 S16.1 - 1978 les charges pondérées seront combinées de la façon à avoir la combinaison la plus critique suivant les relations

$$\alpha_D D + \gamma_4 (\alpha_L L + \alpha_Q Q + \alpha_T T)$$

Pour notre cas nous examinons

$$\alpha_D D + \gamma_4 (\alpha_Q Q) \quad (1)$$

D = charge due au poids mort

Q = charge due au vent

α_D = facteur de pondération = 1.25 (clause 7.2.3)

$\gamma_4 = 1.0$ = facteur de simultanéité (clause 7.2.4.a)

$\alpha_Q =$ coefficient de tenue = 1.0 (clause 7.2.5.a)

Mais présentons les résultats de l'équation (1) au tableau III.2 page 45

tableau III.2 chargement D+qj surdore

membres	NE	PA	PC	CA	CD	DC	DE	ED
moments KN.m	36.72	71.497	71.497	71.239	71.239	85.334	85.334	96.886
efforts tranchants KN	6.172	11.712	12.715	0.852	0.315	0.715	11.366	14.157
efforts normaux KN	6.696 (+)	6.696 (+)	11.142 (-)	11.142 (-)	11.142 (-)	11.142 (-)	2.706 (+)	2.706 (+)

+ membre en tension

- membre en compression

Dans le tableau qui suit, nous nous servons de la plus grande charge dans chaque membre pour comparaison.

tableau III.3

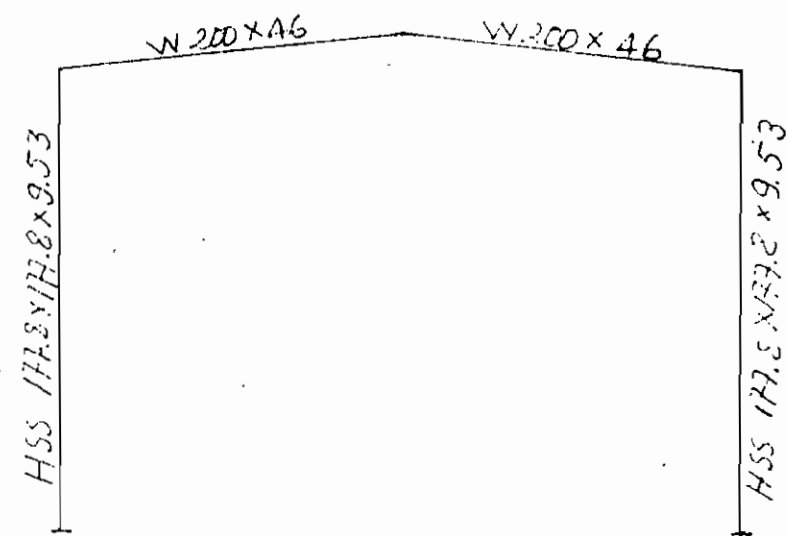
membres	NE	PC	CD	DE
D+qj	72.497	71.497	85.334	96.886
D	33.38	30.76	30.76	33.38
efforts tranchants KN	11.712	12.715	0.715	14.157
D	5.322	5.322	5.322	5.322
D+q	6.696	11.142	11.142	2.706
efforts normaux KN	-9.318	-5.29	-5.29	-9.318
D				

Le tableau de comparaison III.3 montre que le chargement D+Q est plus critique dans le cas des moments, mais, concernant l'effort tranchant et l'effort normal le chargement le plus critique varie d'une membre à l'autre. Par conséquent nous nous servirons du chargement critique donné par les moments pour fin de design et nous essaierons de vérifier chaque fois que les conditions imposées par la norme sont satisfaites dans le cas de l'effort tranchant et l'effort normal.

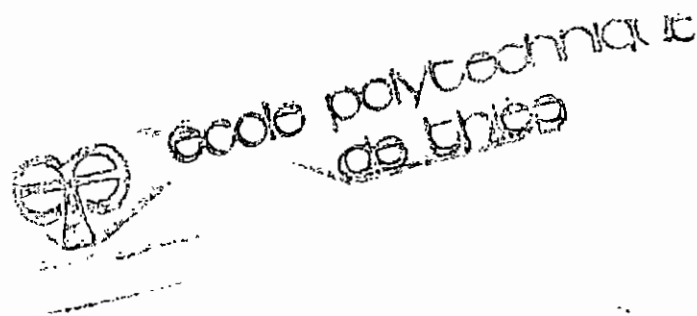
5. Design du cadre intérieur

Pour le design, toutes les formules seront référées au code S16-1 M78 et les valeurs numériques relatives aux profils seront tirées du catalogue CISC.

Pour le design du cadre intérieur
 les calculs figuraient en annexe III. 5 page 90
 Les calculs nous ont conduit finalement
 au cadre désigné ci-dessous



cadre intérieur

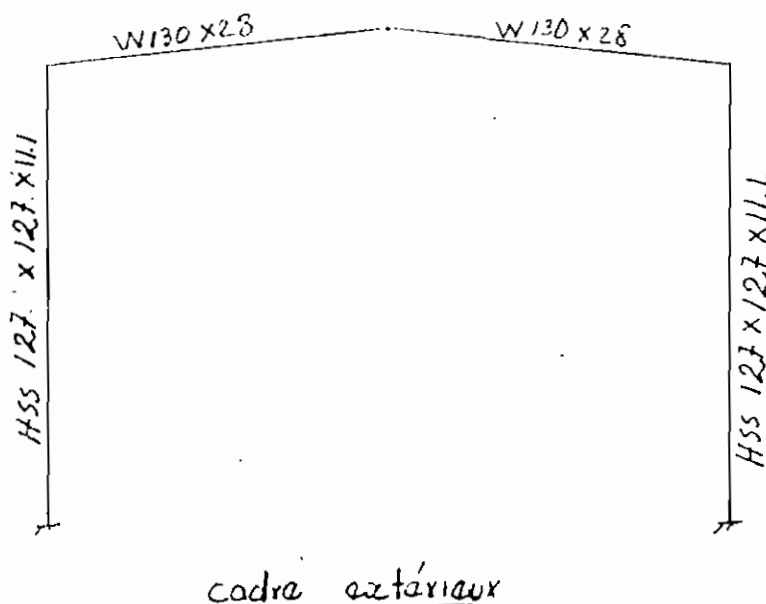


6° Design du cadre extérieur

La surface tributaire est la moitié de la surface tributaire du cadre(2). Les charges uniformément réparties sont réduites de moitié.

Les charges se déduisent des charges du cadre extérieur.

Les calculs présentés en annexe III.6 page 103 permettent d'avoir le cadre représenté ci-dessous.



cadre extérieur

7° Design des lisses

Pour les lises qui sont des profils destinés à supporter la couverture que recouvrent les faces latérales du bâtiment, nous choisissons des profils de type minimal. L'espacement sera de 2 mètres en tenant compte de la couverture et du système de contreventement.

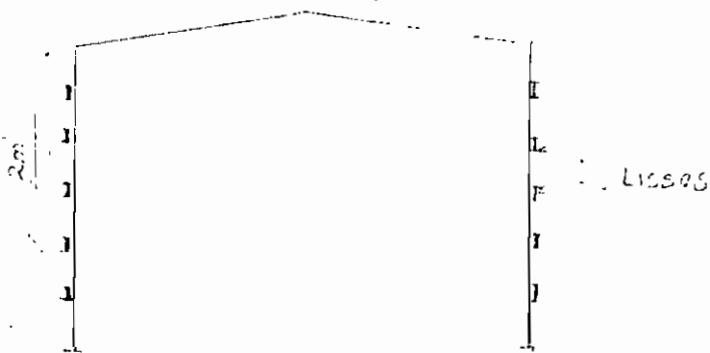


schéma : dispositions des lisses

L'étude des lises se fait exactement comme l'étude des pannes vous page 84

$$\text{Nous trouvons } p_e = 69.3 \text{ N/m}^2$$

$$p_u = 14.85 \text{ N/m}^2$$

$$p = p_e - p_u = 54.45 \text{ N/m}^2$$

ce qui donne une charge uniformément répartie

$$w = 54.45 \text{ N/m}^2 \times 2 \text{ m} = 108.9 \text{ N/m}$$

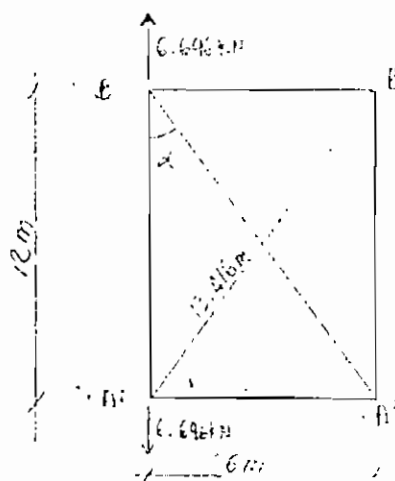
$$\text{On trouve } M_{\max} = \frac{wL^2}{8} = \frac{108.9 \times 6^2}{8} = 490.05 \text{ N.m}$$

$$V_{\max} = \frac{wL}{2} = \frac{108.9 \times 6}{2} = 326.7 \text{ N}$$

En essayant un profilé S75x11 on prend compte qu'un tel profilé convient pour les lisses. Nous ne présenterons pas les calculs qui sont analogues au calcul des pannes. (voir page 84)

8° Etude du système de contreventement

Considérons une travée de bord



$$d = 26.30$$

$$\sum F_y = 0 \Rightarrow BA'_{load} = BB = 6.696 \text{ kN}$$

$$\Rightarrow BA' = 7.482 \text{ kN}$$

Si nous savons que les lames de contreventement seront placées aux deux extrémités, nous faisons le calcul de la force de compression C_r en les supports encastrés

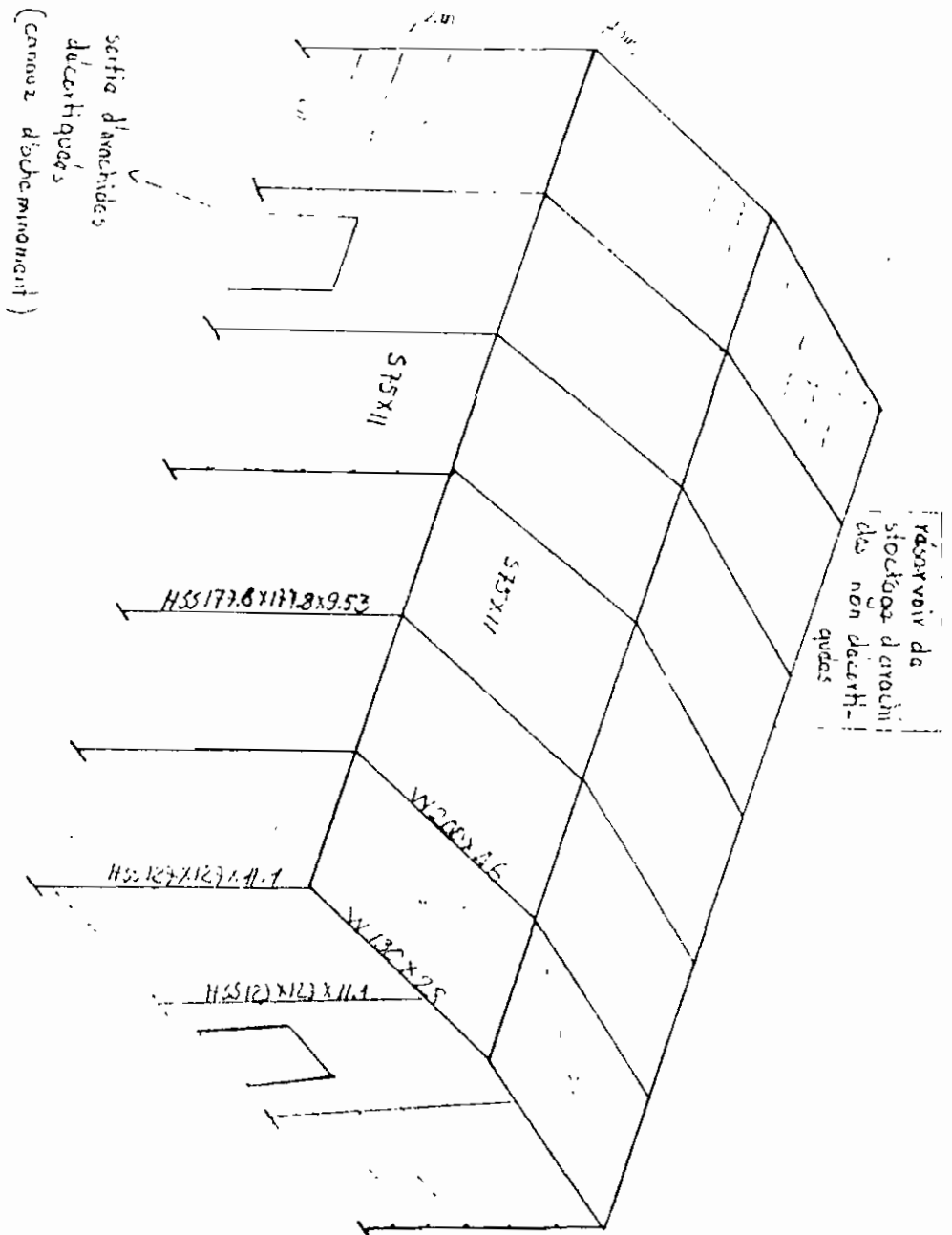
$$C_r = \frac{\pi^2 EI}{(KL)^2} = \frac{\pi^2 \times 200,000 I}{(0.5 \times 13416)^2}$$

$$\therefore C_r = 4.387 \times 10^{-2} I$$

Si nous choisissons un profilé 575×8 $I = 2.04 \times 10^6 \text{ mm}^4$

$$C_r = 45.625 \text{ KN}$$

Cette force est largement supérieure à la force de compression $8A' = 7.482 \text{ KN}$. Par conséquent les barres de contreventement ont un effet pas très important: on pourra utiliser des fer ronds ou en U.



CHAPITRE IV

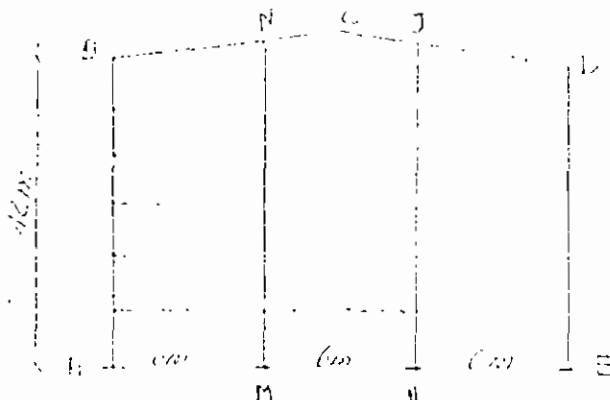
FONDACTIONS

A. DESCENTE DES CHARGES

B. ETUDE DES SEMELLES

A. DESCENTE DES CHARGES

1^e Cadre de rive



Pour les détails de calculs voir annexe IV. A. 1^e
page 111

2^e Cadre intérieur

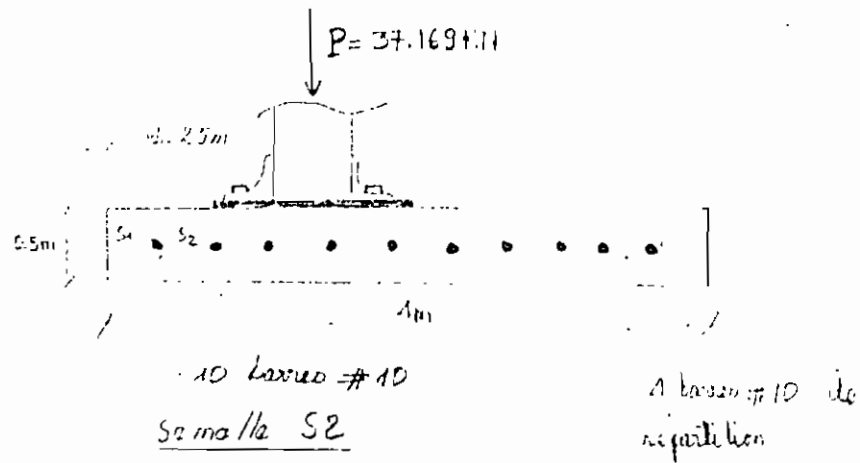
Les détails de calculs figurent en annexe
voir page 113

B. ETUDE DES SEMELLES

Nous allons d'abord faire l'étude des semelles du cadre intérieur, puis celles du cadre de rive. port connue appellation S2, S1

10/ Semelles du cadre intérieur S2

Les calculs figurent en annexe IV B. 10 voirie page 114
Nous précisons le type de semelle adoptée.

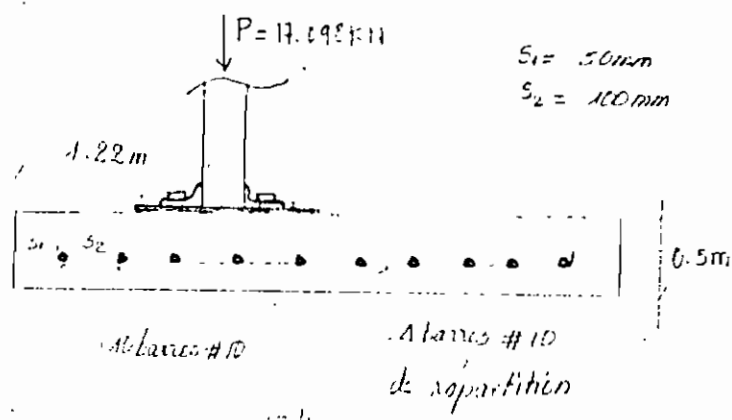


$$S_1 = 30 \text{ mm}$$

$$S_2 = 100 \text{ mm}$$

2/ Sanalles du cadre da riva S1

Les calculo figurant en annexe IVB 2: voir page
Nous présentons le type de sanalle adoptée

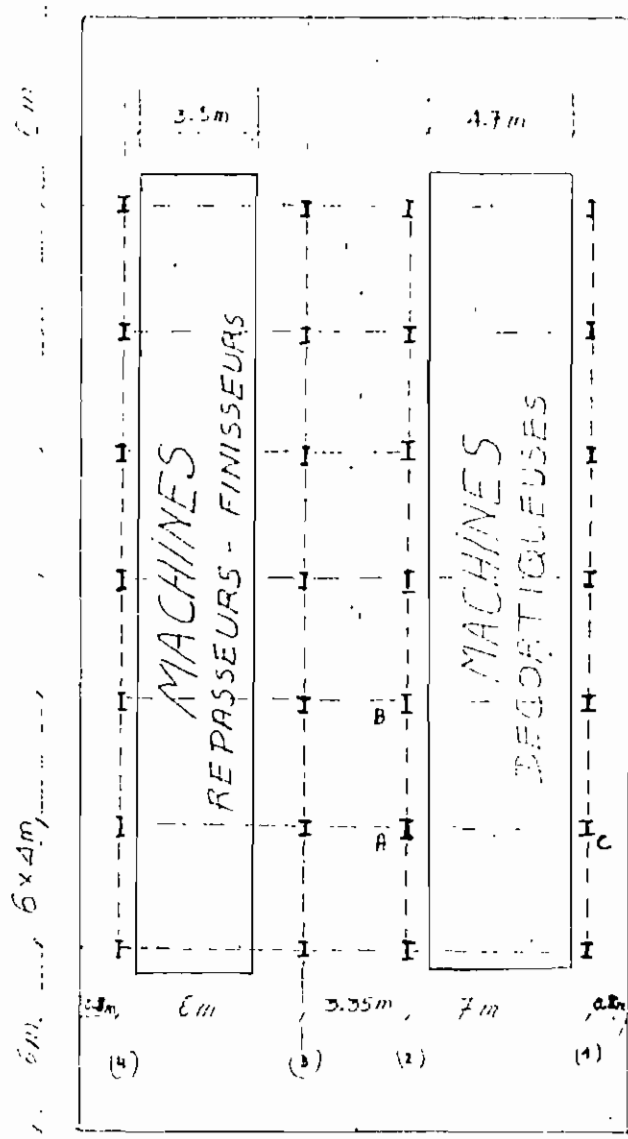


CHAPITRE V
ETUDE
INTERIEURE
DU
BATIMENT

Dans cette partie nous nous proposons de présenter une disposition du complexe de machines à l'intérieur du bâtiment.

C'est en fonction de l'espace que peuvent occuper les machines que nous avons adopté la disposition indiquée à la figure ci-dessous

18m



Les profilés montés à la figure précédente permettent de supporter le plancher cailloloté qui se trouve à une hauteur de 2.6m. Ce plancher permet d'accéder aux diverses machines. A priori nous savons que ces profilés ne supportent pas de grandes charges. Nous étudierons la rangée qui supporte la plus grande charge c'est à dire la rangée (2) sur notre dessin.

Pour le plancher cailloloté (grillage) nous supposons un poids de $50N/m^2$
d'où

$$\begin{aligned} - \text{ plancher } & 50N/m^2 \times 1.25 = 62.5N/m^2 \\ - \text{ surcharge } & 250kg/m^2 \times 10 \times 1.5 = \underline{3750N/m^2} \\ \text{ Charge totale} & 3812.5N/m^2 \end{aligned}$$

12. Etude des profils longitudinaux AB

$$\begin{aligned} \text{Charge au mètre linéaire} : & 3812.5N/m^2 \times 5.175m \\ & = 19.73KN/m \end{aligned}$$

Les détails de calculs figurent en annexe page 128

Nous adoptons les profilés W 200 x 31

2: Etude des profils transversaux AC

Pour ces profils nous adoptons le même type de profils que les profils longitudinaux. Ces profils reposent sur des murs en béton armé supportant les machines. Ils prendront donc appui sur ces murs ce qui réduit leur portée et réduit les problèmes de flèche. Ces profils proches à la charpente peuvent en partie contreventer.

3: Etude des poteaux intérieurs

- surcharge + plancher, caillbotis: $3.813 \text{ kN/m}^2 \times 4\text{m} \times 5.175\text{m}$
 $= 78.93 \text{ kN}$
- poids propre des profils (transversaux et longitudinaux)
 $= 0.31 \text{ kN/m} \cdot (4\text{m} + 5.175\text{m}) = 2.844 \text{ kN}$

$$\text{Charge totale par poteau} = 81.774 \text{ kN}$$

Nous supposons les poteaux articulés à la base car ne sont pas sollicités en flexion. Les calculs figurent en annexe notre page 131

Nous adoptons les profils HSS 101.6x101.6x4.78

CHAPITRE VI

DEVIS

ESTIMATIF

1^e Prix des aciers de construction

$$\text{Panneau : } 13 \times 36 \text{ m} \times 11 \text{ kg/m} \times 208 \text{ Frs/kg} = 1070781 \text{ Frs}$$

$$\text{Lanterne : } 10 \times 54 \text{ m} \times 11 \text{ kg/m} \times 208 \text{ Frs/kg} = 1235520 \text{ Frs}$$

$$\text{contreventement : } 16 \times 13.5 \text{ m} \times 5 \text{ kg/m} \times 199 \text{ Frs/kg} = 214920 \text{ Frs}$$

Cadre :

$$W 200 \times 46 : 10 \times 46 \text{ kg/m} \times 9.04 \text{ m} \times 208 \text{ Frs/kg} = 864947.2 \text{ Frs}$$

$$W 130 \times 28 : 4 \times 28 \text{ kg/m} \times 9.04 \text{ m} \times 208 \text{ Frs/kg} = 210595.84$$

$$\text{HSS } 177.8 \times 177.8 \times 3.53 : 10 \times 48.49 \text{ kg/m} \times 12 \text{ m} \times 208 \text{ Frs/kg} = 1210310.4$$

$$\text{HSS } 127 \times 127 \times 11.1 : 8 \times 37.1 \text{ kg/m} \times 12 \text{ m} \times 208 = 740812.8$$

total 5547890.2

2^e Déchets 6%

$$\text{part } 0.06 \times 5547890.2 = 332873.4$$

3^e Prix des barlans, rivets d'assemblage, électrodes et articles de quincaillerie

$$5\% [5547890.2 + 332873.4] = 294038.18$$

4^e Prix de la vitrerie

La vitrerie le long de la charpente permet d'avoir un éclairage uniforme à l'intérieur du bâtiment

$$12 \times 0.5 \text{ m} \times 0.5 \text{ m} \times 9930 = 29790 \text{ Frs}$$

5°/ Fraie des parois en B.A

béton armé : $31000 \text{ Fr/m}^2 \times 4\text{m} \times 0.5\text{m} \times 0.5\text{m} \times 14 = 434000 \text{ Fr}$
 béton de proportion : $21400 \text{ Fr/m}^2 \times 0.05\text{m} \times 4,05\text{m} \times 0.55 = 2383.425$
 total 436383.43

6°/ Fraie de l'isolation thermique en polystyrène

$3800 \text{ Fr/m}^2 \times [9.04\text{m} \times 36\text{m} \times 2] \times 1.2 = 2968012.8 \text{ Fr}$
 (20%) de perte

7°/ Fraie de la couverture

De la surface de couverture il faut retrancher la rétrécie ($12 \times 0.5 \text{ m}^2$) et les portes $2 \times 3\text{m} \times 3\text{m}$

$1249 \text{ Fr/m}^2 \times 2 \times [9.04\text{m} \times 36\text{m} + 12\text{m} \times 36\text{m} - 12\text{m} \times 0.25\text{m}^2 - 2 \times 9\text{m}^2] \times 1.2$
 $= 2207552.5 \text{ Fr}$
 (on a prévu 20% de recouvrement)

8°/ Fraie du transport du matériel

Nous supposons dans cette partie qu'il faut transporter le matériel commandé depuis DAKAR jusqu'à KAOLACK 200 kilomètres

a/ Poids total des aciers de construction

$$\begin{aligned}
 & - 13 pannes : 13 \times 36 \text{ m} \times 11 \text{ kg/m} = 5148 \text{ kg} \\
 & - 5 lisses : 10 \times 54 \text{ m} \times 11 \text{ kg/m} = 5940 \text{ kg} \\
 & - Contreventement : 16 \times 13.5 \text{ m} \times 5 \text{ kg/m} = \underline{\underline{1080 \text{ kg}}} \\
 & \qquad \qquad \qquad \text{total} \qquad \qquad \qquad 12168 \text{ kg}
 \end{aligned}$$

b/ Poids des armatures pour poutrelles

$$\begin{aligned}
 & 14 \left\{ \begin{array}{l} 10 \text{ barres} \times 0.5 \text{ m} \times 0.68 \text{ kg/m} \\ 4 \text{ barres} \times 4 \text{ m} \times 0.68 \text{ kg/m} \end{array} \right. = \underline{\underline{3.4 \text{ kg}}} \\
 & \qquad \qquad \qquad \text{total} \qquad \qquad \qquad 14 \times 14.28 = 199.92 \text{ kg}
 \end{aligned}$$

c/ Poids des boulons, rivets d'assemblage 5%

$$0.05 [12168 \text{ kg} + 199.92 \text{ kg}] = 618.396 \text{ kg}$$

d/ Poids des colonnes

$$10 \times 48.49 \text{ kg/m} \times 12 \text{ m} + 8 \times 97.1 \text{ kg/m} \times 12 \text{ m} = 9380.4 \text{ kg}$$

total

22367 kg

$$\text{port} \quad 22.367 \text{ tonnes} \times 200 \text{ km} = 4473.4 \text{ tonnes-km}$$

$$\text{Pne} : 4473.4 \text{ tonnes-km} \times 27.5 \text{ FID/t-km}$$

$$= \boxed{123018.5 \text{ FID}}$$

9° Pré de la main d'œuvre

Les ouvriers travaillent 40h/semaine

Les agents de maîtrise de 173.33 h/mois

Nous établissons un planning pour deux mois
soit ouvriers 320h

agent de maîtrise 346.66 h

Nous constituons une équipe suivante :

2 manœuvres 1 ^{re} catégorie A	$140.5 \text{ Fr/h} \times 320 \times 2 = 89920 \text{ Fr}$
2 manœuvres 1 ^{re} catégorie B	$144.11 \text{ Fr/h} \times 320 \times 2 = 92830.4 \text{ Fr}$
2 aides-ouvriers 2 ^e catégorie	$158.52 \times 320 \times 2 = 101452.8 \text{ Fr}$
1 ouvrier 3 ^e catégorie A	$177.39 \times 320 \times 1 = 56764.8 \text{ Fr}$
1 ouvrier 6 ^e catégorie A	$238.83 \times 320 \times 1 = 76425.6 \text{ Fr}$
1 ouvrier 6 ^e catégorie B	$274.05 \times 320 \times 1 = 87696 \text{ Fr}$
1 agent de maîtrise MS	$492.48 \times 346.66 \text{ h} = 170723.12 \text{ Fr}$
total	<u>675210.12 Fr</u>

RECAPITULATIF

<u>Désignations</u>	<u>Priz</u>	<u>Frs CFA</u>
Aciers de construction	5 547	890 . 2
Déchets	332	873 . 4
Boulons, rivets d'assemblage, électrode	294	038 . 18
Vitrerie	29	790
Somelles en B.A	436	383 . 43
Isolation thermique	2 968	012 . 8
Couvertures	2 207	552 . 5
Transport du matériel	123	018 . 5
Mains d'œuvre	675	210 . 12
<u>total</u>	<u>12 614</u>	<u>769</u>

N.B Tous les prix qui figurent dans ce devis ont été tirés du bulletin de la commission d'officialisation des prix du mois de janvier 1981 (Bureau de la Série des Gris , Fann Résidence TP Cap Vert Tel 21.74.86)

Le calcul du devis nous donne

12615000 Frs

soit un prix au m^e de surface proposée de

$$\frac{12615000}{36m \times 18m} = 19467.59 \text{ Frs}$$

et un prix de $\frac{12615000}{6 \text{ travées}} = 2102500 \text{ Frs}$

par travée de 6m x 18m

en arrondissant les chiffres

Estimé du bâtiment 12,615,000 Frs

Prix par unité de surface 19,468 Frs

Prix par travée de 6m² 2,102,500 Frs

CONCLUSION

DISCUSSION

Toute charpente métallique doit faire avant sa fabrication l'objet d'une étude méthodique. Cette étude doit être abordée comme un problème comportant une ou plusieurs solutions. Les données sont les dimensions du bâtiment, le terrain dont on dispose et les conditions propres à l'utilisation de la construction. Notre souci majeur dans ce projet a été de choisir parmi les solutions possibles celle qui convient à tout point de vue. Depuis l'établissement du devis déccriptif au devis estimatif, nous avons attaché une importance toute particulière à l'économie en général à savoir économie de temps, de poids et d'énergie dans l'exécution des travaux. Ceci n'a pas manqué de se manifester dans le projet. En effet les charges sur nos fondations réduites et notre devis estimatif peu élevé donne un rapport satisfaisant. Si le Sénégal est un pays où l'entreprise de bâtiment se développe, il est à souligner que la construction métallique reste mal connue. C'est pour cela que attire l'attention du maître d'œuvre d'un tel projet sur la réception des travaux de charpente.

Outre le contrôle des implantations et des fondations, au delà du contrôle de la charpente proprement dite, il convient de se prémunir contre les variations des éléments de prix qui peuvent survenir pendant la fabrication. Notre expérience en tant que jeune projeteur ne nous permet pas de donner un jugement sur le bâtiment en général. Cependant sur les avantages de la charpente métallique que nous avons eu à évoquer (légèreté, transformations faciles, démontabilité, souplesse et facilité de contrôle) nous croyons à l'opportunité d'un tel projet et que par conséquent le devis estimatif que nous avons trouvé peut servir de base à des ajustements de moyenne importance. Nous tenons toutefois à noter que dans l'établissement de notre devis nous n'avons pas tenu compte de la disponibilité de la main-d'œuvre sur le marché local ou régional. Il conviendrait donc de se munir d'une marge de sécurité pour prévoir éventuellement le transport du personnel.

ANNEXES

DU
PROJET

ANNEXE II. B. 2°

Dans cette partie, annexe B du chapitre II. 2° nous nous proposons de faire les calculs pour un système symétriquement chargé.

Tous les calculs sont basés sur la méthode de Castigliano. Le principe est le suivant :

- dans un premier temps on trace les diverses diagrammes M/EI due aux charges
- dans un deuxième temps on trace $\left(\frac{dM}{dP_i} \right)$ les diagrammes dérivés par rapport aux charges (dans notre cas présent M et N)

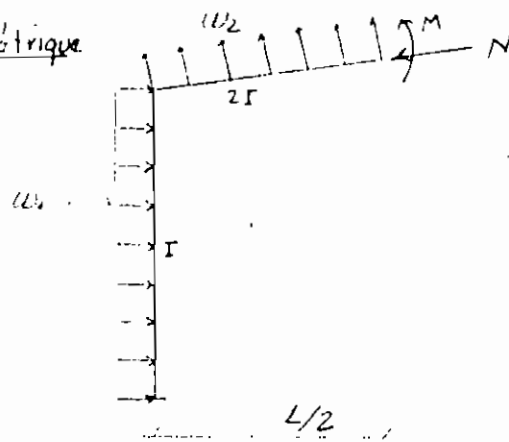
Nous savons que les déplacements relatifs à la coupure sont nuls, ce qui se traduit par $\frac{du}{dM} = 0$

$$\frac{du}{dN} = 0 \quad \text{ou d'après Castigliano} \quad \int \frac{M}{EI} \frac{dM}{dP_i} = 0$$

Alors pour chaque diagramme M/EI on calcule l'aire A_i et la valeur y_G sur le diagramme $\frac{dM}{dP_i}$ du centre de gravité. L'équation $\int \frac{M}{EI} \frac{dM}{dP_i} = 0$ se traduit par $\sum A_i y_G = 0$

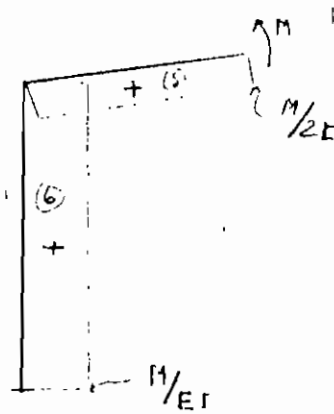
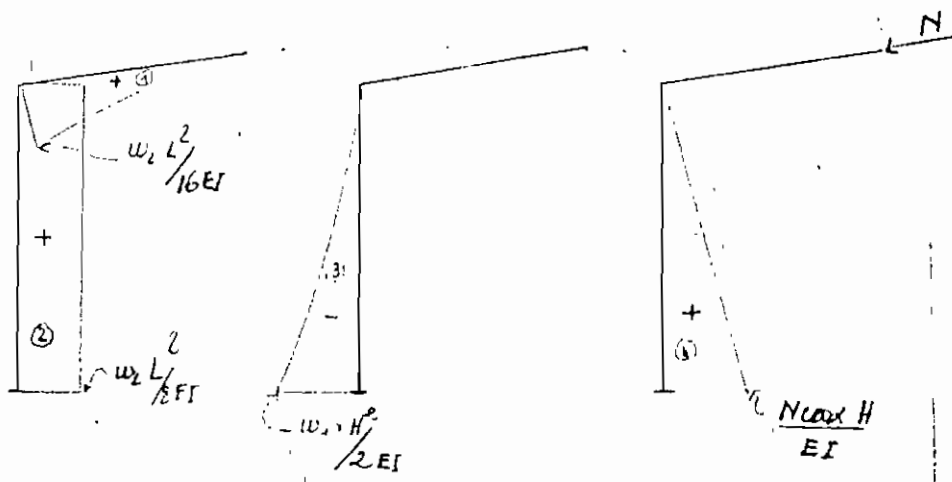
Chargement symétrique

C.S.S

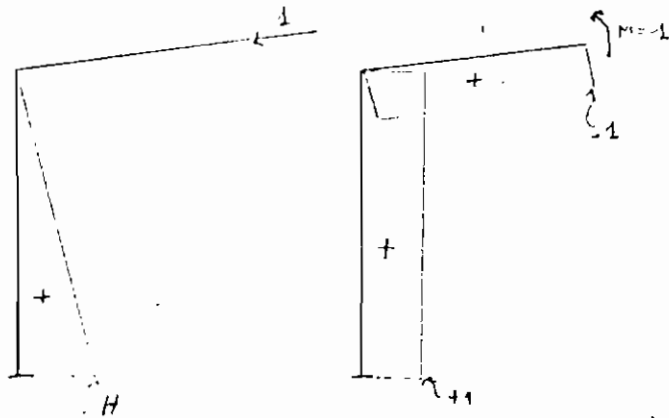


$$V=0$$

Diagrammes $\frac{M}{EI}$



Diagrammas $\frac{dM}{dP}$



Achs	$\frac{dv}{dN}$	y_G	$\frac{dv}{dM}$
① $\frac{w_c L^2}{16 EI} \times \frac{L}{2}$	0	+1	
② $\frac{w_c L \times H}{8 EI}$	$\frac{H}{2}$	+1	
③ $-\frac{w_1 H^2}{2 EI} \times \frac{H}{3}$	$\frac{2}{3} H$	+1	
④ $N_{load} \times \frac{H^2}{2}$	$\frac{2}{3} H$	+1	
⑤ $M \times L / 4 EI$	0	+1	
⑥ $\frac{M}{EI} \times H$	$\frac{H}{2}$	+1	

$$(1) \frac{dy}{dN} = 0 \Leftrightarrow \frac{w_c L^3}{32 EI} \times 0 + \frac{w_c L^2 \times H^2}{16 EI} - \frac{w_1 H^4}{8 EI} + \frac{N_{load} \times H^3}{3} + \frac{M \times L}{4 EI} \times 0 + \frac{M \times H^2}{2 EI} = 0$$

$$(2) \frac{dy}{dM} = 0 \Leftrightarrow \frac{w_c L^3}{32 EI} \times 1 + \frac{w_c L \times H}{8 EI} \times 1 - \frac{w_1 \times H^3}{6 EI} + \frac{N_{load} \times H^2}{2 EI} + \frac{M}{EI} \times H = 0$$

des deux formules établies (1) et (2)
on tire

$$N = \frac{1}{H^2 \times \cos} \left[w_1 \times \frac{H^3}{2} + 3 \times w_e \times \frac{L^3}{16} \right]$$

$$M = \left[-\frac{w_2 \times L^3}{8H} - \frac{w_1 \times H^2}{12} - w_e \times \frac{L^2}{8} \right]$$

Ces formules donnent l'effort normal N , le moment M (et l'effort tranchant $V=0$) au point où passe l'axe de symétrie c'est à dire au point C

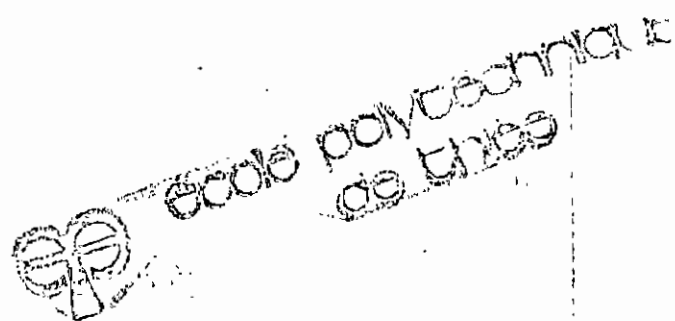
Ces formules précédemment établies à la page 21 nous avons :

$$w_1 = 0.66 \times 10^{-4} V^2 \text{ KN/mm} = 59.4 \text{ N/mm} \quad (V=30 \text{ KM/H})$$

$$w_2 = 4.95 \times 10^{-4} V^2 \text{ KN/mm} = 445 \text{ N/mm}$$

$$N = 3758 \text{ N}$$

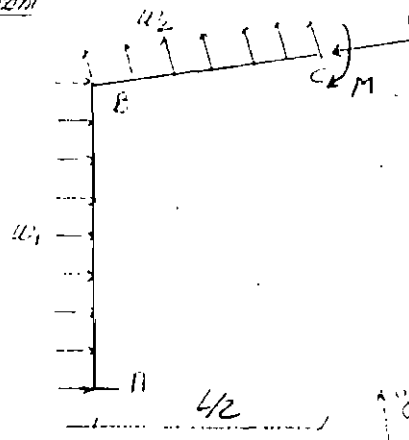
$$M = -45819.675 \text{ N}$$



Calculo dos efeitos dans les diverses membrures

partant symétriquement

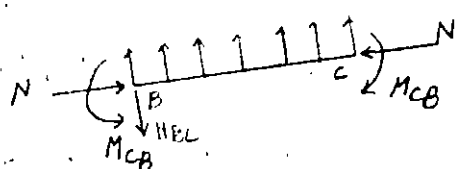
charge



$$w_1 = 59.4 \text{ N/m}$$

$$w_2 = 445.5 \text{ N/m}$$

$$L = 18 \text{ m} \quad H = 12 \text{ m}$$



$$\sum F_y = 0 \Rightarrow H_{BC} = w_2 \times L/2 = 4.01 \text{ kN} \quad M_{CB} = 45.82 \text{ kNm}$$

$$\sum M_{BC} = 0 \quad +M_{BC} + w_2 \times L^2/8 - M_{CB} = 0$$

$$M_{BC} = R_B - w_2 \times L^2/8$$

$$M_{BC} = 27.78 \text{ kNm}$$

$$M_{BA} = M_{BC} = 27.78 \text{ kNm} \text{ équilibre au noeud}$$

$$H_{BA} = N_{\text{noeud}} + H_{BC} \text{ pend} \quad \text{au noeud}$$

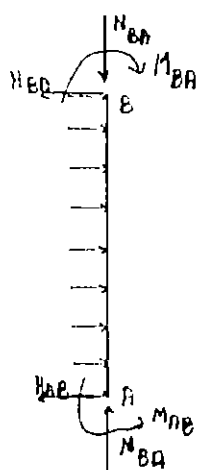
$$H_{BA} = 3.759 \cos 50^\circ + 4.01 \sin 50^\circ$$

$$H_{BA} = 4.138 \text{ kN}$$

$$\sum F_x = 0 \Rightarrow H_{AB} = -H_{BA} + w_1 \times H$$

$$H_{AB} = -4.138 + 0.0594 \times 12$$

$$H_{AB} = -3.425 \text{ kN}$$



$$\sum M_A = 0 \quad M_{AB} - w_i \times H \times \frac{H}{2} + H_{BA} \times 12 - M_{BA} = 0$$

$$M_{AB} = 27.78 + 0.0594 \times 12^2 / 2 - 4.138 \times 12$$

$$M_{AB} = -17.599 \text{ KN.m}$$

L'équation du moment à une distance x de B sur la membrure AB s'écrit

$$M_x = M_{BA} + w_i \frac{x^2}{2} - H_{BA} x$$

$$Y_x = w_i x - H_{BA}$$

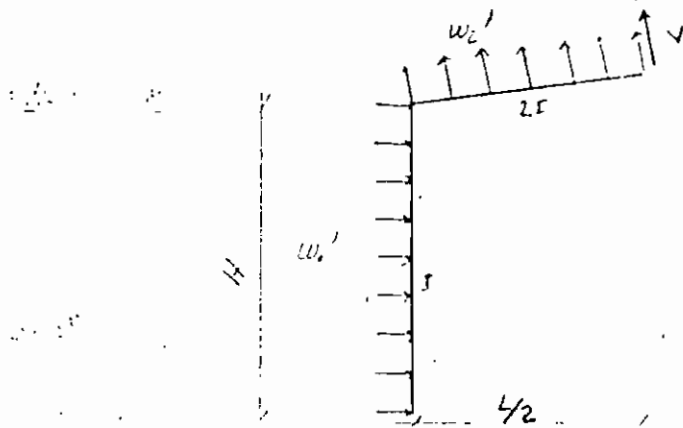
$$w_i x - H_{BA} = 0 \Rightarrow x = \frac{H_{BA}}{w_i} = \frac{4.138}{0.0594} > 12 \text{ m}$$

l'effort tranchant ne s'annule pas par la membrure.

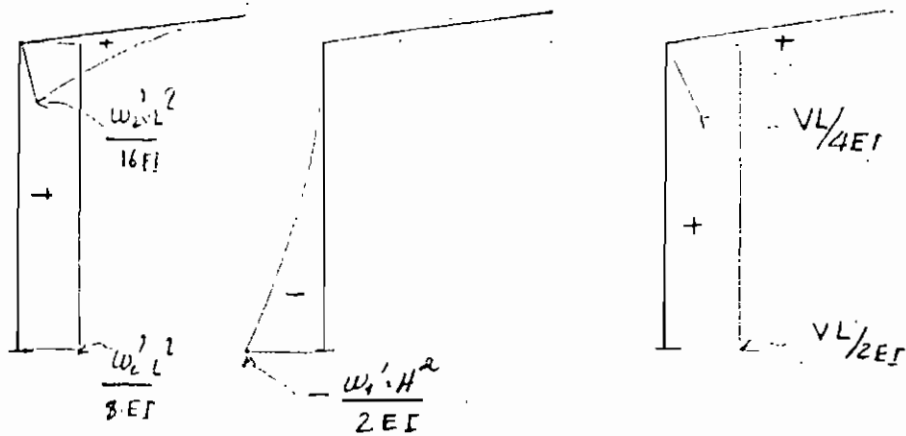
Le moment s'annule à une distance
 $x = 7.1 \text{ m}$ de B (résolution de l'équation
 $M_x = 0$)

ANNEXE II.B 3°

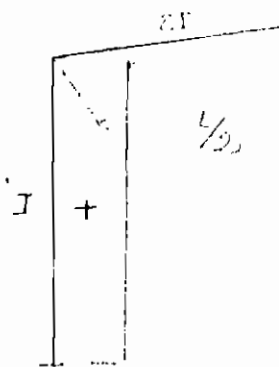
Données du chapitre II.B. 3^e charge symétrique antisymétriquement chargé. La méthode de calcul utilisée est celle de Castigliano que nous avons exposée précédemment.



Diagrammes $\frac{w}{EI}$



Diagrammes $\frac{dM}{df}$



Aire	$Y_G \left(\frac{du}{dv} \right)$
$\frac{1}{3} \frac{w_1^2 \cdot L^2}{4EI \times 2 \times L} + \frac{L}{2}$	$\frac{3}{4} \frac{L}{2} = \frac{3L}{8}$
$+ \frac{w_2^2 \cdot L^2 \times H}{L \times 4EI}$	$\frac{L}{2}$
$- \frac{1}{3} \frac{w_3^2 \times H \times L}{2EI}$	$\frac{L}{2}$
$\frac{VL \times L}{4EI} \times \frac{L}{2} \times \frac{1}{2}$	$\frac{L}{3} \times \frac{L}{2} = \frac{L^2}{6}$
$\frac{VL \times H}{2EI}$	$\frac{L}{2}$

$$\frac{dv}{du} = 0 \Rightarrow \frac{w_1' L^4}{2 \times 8 \times 16 E I} + \frac{w_e' \times L^3 \times H}{2 \times 8 E I} - \frac{w_1' H^3 L}{12 E I} + \frac{v L^3}{3 \times 16} + \frac{v L^2 H}{4 E I} = 0$$

$$v \left[\frac{L^2}{12} + L \times H \right] = \frac{w_1' H^3}{3} - \frac{w_e' L^3}{32 \times 2} - \frac{w_1' L^2 H}{4}$$

$$V = \left[\frac{w_1' H^3}{3} - \frac{w_e' L^3}{64} - w_1' L^2 \frac{H}{4} \right] \times \frac{1}{\left(\frac{L^2}{12} + L \times H \right)}$$

La superposition du système symétriquement chargé et du système anti-symétriquement chargé, donne M, N, V au point C

En reprenant les formules établies à la page 30

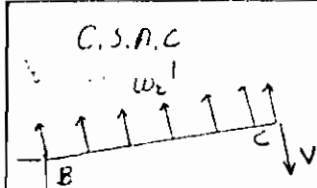
on a avec $V = 30 \text{ km/h}$ $L = 18 \text{ m}$ $H = 12 \text{ m}$

$$w_1' = 356.4 \text{ N/m}$$

$$w_e' = 148.5 \text{ N/m}$$

$$N = -195.112 \text{ N}$$

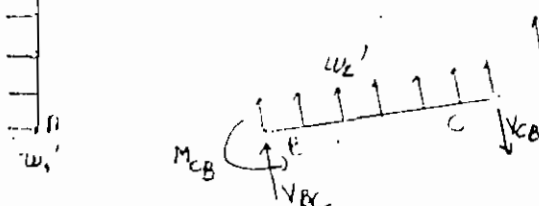
Dans ce qui suit nous présentons les calculs pour les diverses membrures.



$$N_c = 0 \quad N_c = 0$$

$$w_1' = 356.4 \text{ N/m}$$

$$w_2' = 198.5 \text{ N/m}$$



mambriura BC

$$\sum F_y = 0 \quad V_{BC} = -0.1885 \times \frac{L}{2} + V_{CB}$$

$$V_{CB} = 0.195 \text{ N}$$

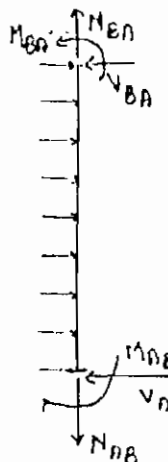
$$\underline{V_{BC} = -1.1415 \text{ KN}}$$

$$\sum M_B = 0 \Rightarrow M_{BC} + w_2' \frac{L}{2} \times \frac{L}{4} - V_{CB} \times \frac{L}{2} = 0.$$

$$M_{BC} = -w_2' \frac{L^3}{8} + V_{CB} \times \frac{L}{2}$$

$$\underline{M_{BC} = -4.259 \text{ KN.m}}$$

mambriura AB



equilibrio au nœud B

$$M_{BA} = M_{BC} = 4.259 \text{ KN.m}$$

$$V_{BA} = V_{BC} \cos 5^\circ = 1.1415 \cos 5^\circ = 0.1134 \text{ KN}$$

$$\sum M_A = 0 \Rightarrow +M_{BA} + w_1' \times \frac{H^2}{2} - M_{BA} - V_{BA} \times H = 0$$

$$M_{AB} = 4.259 + 0.1134 \times 12 - 0.3564 \times 12^2 / 2$$

$$\underline{M_{AB} = -20.041 \text{ KN.m}}$$

$$\sum F_x = 0 \quad V_{AB} = -V_{BA} + w_1' \times H \quad V_{AB} = 4.163 \text{ KN}$$

$$\text{considérons ABC} \quad N_{AB} = w_1' \times \frac{L}{2} \cos \alpha = \underline{1.33 \text{ KN}}$$

Pour la membrure AB l'équation du moment à partir de B est

$$M_x = M_{BA} + V_{BA} \times z - w_0' z^2/2$$

$$V_y = V_{BA} - w_0' z$$

$$V=0 \Rightarrow z = \frac{V_{BA}}{w_0'} = \frac{0.1134}{0.3564} = 0.32 \text{ m}$$

$$\text{d'où } M = 4.28 \text{ KN.m}$$

Pour la membrure BC l'équation du moment

$$M = -w_0^2 z^2/2 + V_{CB} z$$

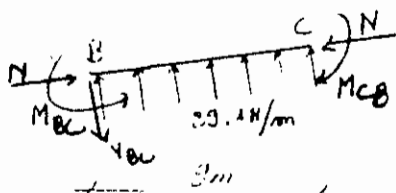
$$V = -w_0 z + V_{CB} = 0$$

$$z = \frac{V_{CB}}{w_0'} = \frac{0.195}{0.1485} = 1.31 \text{ m de C}$$

$$M = 0.128 \text{ KN.m}$$

ANNEXE II. B.4

Dans cette partie de l'annexe du chapitre II nous faisons le calcul des efforts créés par la pression à l'intérieur du bâtiment.



$$\sum F_y = 0 \quad V_{Bc} = 89.1 \times \frac{9}{12} \quad d = 50^\circ 2$$

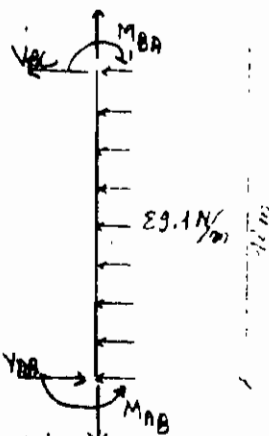
$$V_{Bc} = 805.88 \text{ N}$$

$$\sum F_y = 0 \Rightarrow V_{Bc}$$

$$\sum M_B = 0 \Rightarrow +M_{Bc} + 89.1 \times \frac{9^2}{2} - M_{Cb} = 0$$

$$M_{Bc} = M_{Cb} - 89.1 \times \frac{9^2}{2} = 7952.175 - 89.1 \times \frac{9^2}{2}$$

$$M_{Bc} = 4343.625 \text{ N}$$



$$\text{équilibre au nœud } B \quad M_{BA} = M_{BL}$$

$$V_{BB} = N_{coor} + V_{Bc} \sin d = 142.308 \cos 50^\circ 2 + 805.88 \times \sin 50^\circ 2$$

$$V_{BA} = 222 \text{ N}$$

$$V_{AB} = 222 \text{ N} + 89.1 \times 12 = 1291.2 \text{ N}$$

$$M_{AB} = -89.1 \times \frac{12^2}{2} + 4343.625 - 222 \times 12$$

$$M_{AB} = -4735.575 \text{ N}$$

L'équation du moment pour la membre AB montre que le moment s'annule à $x = 7.66 \text{ m}$ de B

ANNEXE III. 2.

Dans cette partie nous faisons le design des profilés-pannes.

pression du vent = pression externe + pression interne

Les coefficients de pression externes

$$C_{pe} = -1 \quad C_{pi} = 0.3 \quad C_g = 2.0 \quad q = 50 \times 10^{-6} \text{ v}^2$$

$$p_e = C_e C_g C_{pe} q = 1.1 \times 2.0 \times 1 \times 50 \times 10^{-6} (30)^2$$

$$p_e = 99 \text{ N/m}^2$$

$$p_i = C_e C_{pi} q = 1.1 \times 0.3 \times 50 \times 10^{-6} (30)^2 = 14.85 \text{ N/m}^2$$

$$p = p_e + p_i = 99 \text{ N/m}^2 + 14.85 \text{ N/m}^2 = 113.5 \text{ N/m}^2$$

Ce qui donne une charge uniformément répartie de $113.5 \text{ N/m}^2 \times 1.5 = 170.25 \text{ N/m}$

Poids mort

$$-\text{ imperméabilisation : } 0.12 \text{ KN/m}^2 \times 1.5 \text{ m} \times 1000 = 18 \text{ N/m}$$

$$-\text{ éléments mécaniques suspendus : } 0.2 \text{ KN/m}^2 \times 1.5 \text{ m} \times 1000 = 30 \text{ N/m}$$

$$-\text{ poids propre : } 11 \text{ kg/m} \times 9.81 = 107.9 \text{ N/m}$$

$$-\text{ couverture : } 3.18 \text{ kg/m}^2 \times 1.5 \text{ m} = 22.25 \text{ N/m}$$

$$\text{total} \qquad \qquad \qquad \underline{178.185 \text{ N/m}}$$

La superposition du vent et du poids mort

donne une charge effective pondérée = 7. 935 N/m

Cette charge est faible, la charge due au poids mort est plus critique

Dans le cas où il n'y a pas de réellement de charge due au poids mais se trouve être la plus critique par une charge uniformément répartie

$$\text{de } w = 178.185 \text{ N/m}$$

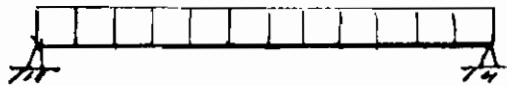
$$\text{d'où } M_{\max} = 178.185 \times (6)^2 / 8 = 801.833 \text{ N.m}$$

$$V_{\max} = \frac{wL}{2} = \frac{178.185 \times 6}{2} = 534.555 \text{ N}$$

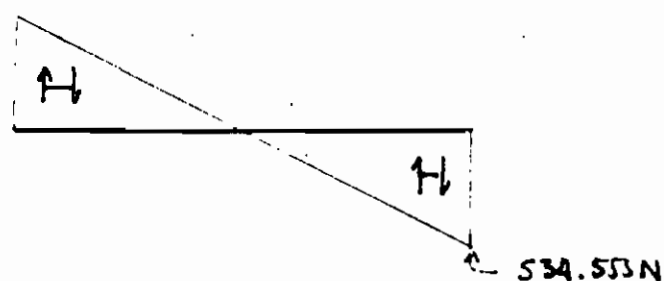
$$M_f = 801.833 \text{ N.m}$$

$$V_f = 534.555 \text{ N}$$

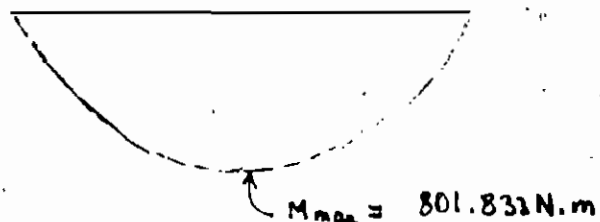
charge



effort tranchant



moment



Un 1^e choix d'un profilé S75x8 montre que ce tel choix n'est pas convenable. Nous sommes amenés à faire un deuxième choix c'est à dire un profilé S75x11 dans les calculs qui vont suivre.

Valeurs tirées du catalogue

$$\begin{array}{lll}
 A = 1420 \text{ mm}^2 & J = 37.9 \times 10^3 \text{ mm}^6 & W = 8.9 \text{ mm} \\
 I_a = 1.2 \times 10^6 \text{ mm}^4 & C_w = 0.287 \times 10^9 \text{ mm}^6 & K = 16 \text{ mm} \\
 I_g = 0.238 \times 10^6 \text{ mm}^4 & d = 76 \text{ mm} & d - 2t = 62.8 \text{ mm} \\
 Z_x = 31.9 \times 10^3 \text{ mm}^3 & b = 63 \text{ mm} & \\
 & t = 6.6 \text{ mm} &
 \end{array}$$

III. 2.1 Classe du profilé

$$\text{Samalla : } \frac{b}{2t} = \frac{63}{2 \times 6.6} = 4.77 \quad \frac{145}{\sqrt{F_y}} = 8.99$$

$$\frac{b}{2t} < \frac{145}{\sqrt{F_y}}$$

$$\text{âme : } \frac{h}{w} = \frac{62.8}{8.9} = 7.056 \quad \frac{1370}{\sqrt{F_y}} = 84.96$$

Le pôle et le perimètre sont de classe 1 et donc le profilé est de classe 1

$$\text{Le moment plastique } M_p = Z_x F_y = 31.9 \times 10^3 \times 260$$

Les éléments n'étant pas latéralement supports = 8.294 KN.m nous calculons le moment ultime M_u

$$M_u = \frac{\pi}{4 \times 6000} \times \sqrt{200,000 \times 0.238 \times 10^6 \times 37,9 \times 10^3 + \left(\frac{200,000 \times \pi}{6000} \right)^2 \times 0.238 \times 10^6 \times 0.287 \times 10^9}$$

$$M_u = 6,188 \text{ KN.m}$$

$$\frac{2}{3} M_p = 5,524 \text{ KN.m}$$

$$M_u > \frac{2}{3} M_p$$

Clause 13.6 (a)

$$M_r = 1.15 \phi M_p \left(1 - \frac{0.28 M_p}{M_u} \right)$$

$$M_r = 5,363 \text{ KN.m} > M_p \quad O.K.$$

III. 2.2 Contraintes normales transversales

Web crippling

$$B_n = 1.25 \phi W (N+k) F_y \quad \text{clause 15.5 (b)}$$

$$B_n = 1.25 \times 0.9 \times (0+16) \times 260 \times 8.9$$

$$B_n = 41,652 \text{ KN} > V_f$$

Good

stabilité de l'âme

$$B_n = \phi \frac{115000}{(\beta/w)^2} \left[5.5 + \frac{4}{(\beta/h)^2} \right] \times A$$

$$B_n = 0.9 \frac{115000}{\left(\frac{62.8}{8.9} \right)^2} \left[5.5 + 0 \right] \times 1420 = 16234.99 \text{ KN}$$

$$B_n > V_f \quad O.K.$$

III. 2.3 Contraintes tangentielles

$$V_x = \phi A_w F_y \quad (\text{classe 13.4.1})$$

$$F_y = 0.66 F_y \quad \frac{h}{w} = 7 \quad < 439 \sqrt{\frac{k_y}{F_y}} = 439 \sqrt{\frac{5.34}{260}} = 63$$

$$A_w = d \cdot w = 76 \times 8.9$$

$$V_x = 0.9 \times 76 \times 8.9 \times 0.66 \times 260$$

$$V_x = 104.463 > V_f$$

III. 2.4 Courbure de flèche

La flèche $f = (P/E)C$ $P = \text{charge maximale}$

$I = \text{moment d'inertie}$

$$C = \frac{5L^3}{384E}$$

$$f = \frac{2376 N}{1.2 \times 10^6 \text{ mm}^4} \times \frac{5 \times (6000 \text{ mm})^3}{384 \times 200,000 \text{ N/mm}^2}$$

$$f = 27.8 \text{ mm} \quad l_{/200} = \frac{6000 \text{ mm}}{200} = 30 \text{ mm}$$

On doit avoir $f < l_{/200}$ ce qui est vérifié

En conclusion le profilé choisi convient.

et nous retenons le profilé S75x8 pour les pannes.

ANNEXE III. 3:

Dans cette partie, nous nous proposons de faire la combinaison de la charge due au poids mort et de la charge du vent.

— Cf la page 25 du rapport nous avons obtenu les charges unitaires pondérées. En multipliant ces charges par le facteur trouvé à la page 41, nous trouvons la charge $\alpha_0 D$ dans la relation de la page 44 (voir tableau page 43, tableau III.1)

Exemple de calcul

$$M_{(BC)} = 1035.36 \times 29.71 \text{ N.m} = 30.76 \text{ KN.m}$$

$$M_{CB} = 1035.36 \times 6.161 \text{ N.m} = 6.379 \text{ KN.m}$$

— Cf la page 35 nous avons tiré les diagrammes finaux des charges dues au vent. Ces charges n'étant pas pondérées on doit les multiplier par le facteur $\alpha_Q = 1.5$ ($\alpha_Q \cdot Q$) La somme algébrique de $\alpha_0 D + \alpha_Q \cdot Q$ nous ont donné les résultats de la relation page 44 (voir tableau III.2 page 45)

ANNEXE III.5 cadre intérieur

Plusieurs essais sur les profilés W200x46, W200x42 et W200x46 nous conduisent finalement à choisir le profilé W 200x46 pour les membrures BC et CD du cadre intérieur.

W200x46 - catalogue

$$A = 5860 \text{ mm}^2$$

$$I_x = 45.5 \times 10^6 \text{ mm}^4$$

$$K = 24 \text{ mm}$$

$$r_x = 87.7 \text{ mm}$$

$$C_w = 14.1 \times 10^9 \text{ mm}^4$$

$$d - 2t = 181 \text{ mm}$$

$$Z_x = 446 \times 10^3 \text{ mm}^3$$

$$d = 203 \text{ mm}$$

$$J = 222 \times 10^3 \text{ mm}^6$$

$$t = 11 \text{ mm}$$

$$I_y = 9 \times 10^6 \text{ mm}^4$$

$$w = 7.2 \text{ mm}$$

III.5.1 Classe du profilé

Pour les membrures BC et CD nous n'utiliserons pas les profilés tubulaires car de tels profilés ne sont pas efficace pour un travail de flexion perpendiculaire.

$$\frac{b}{2t} = \frac{203}{2 \times 11} = 9.23 \quad \frac{145}{\sqrt{F_y}} = \frac{145}{\sqrt{260}} = 8.9$$

$$\frac{145}{260} > \frac{b}{2t} \text{ la pernelle n'est pas de classe 1}\newline \text{exigeons la classe 2} \quad \frac{b}{2t} = 9.23 \quad \frac{170}{\sqrt{F_y}} = 10.5$$

$$\frac{b}{2t} < \frac{130}{\sqrt{F_y}} \Rightarrow \text{la pernelle est de classe 2}$$

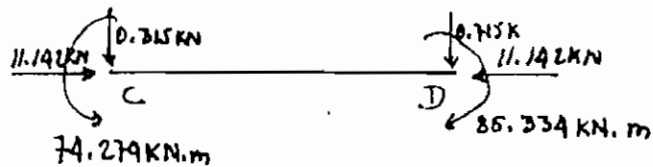
$$\text{âme } \frac{h}{w} = \frac{181}{7.2} = 25 \quad \frac{1100}{\sqrt{F_y}} = \frac{1100}{\sqrt{260}} = 68.23$$

$$\frac{h}{w} \leq \frac{1100}{\sqrt{F_y}} \Rightarrow \text{âme de classe 1}$$

On conclut que le profil est de classe 2

Le voilement n'est pas à craindre, la seule rupture possible est par déformation plastique.

III. 5.2 résistance à la flexion du profil



$$M_f = 85.334 \text{ KN.m}$$

$$G = 11.142 \text{ KN}$$

$$V_f = 0.715 \text{ KN}$$

valeurs de design

$$\frac{M_{f2}}{M_{R2}} + \frac{M_p}{M_{Ry}} \leq 1.0 \quad S16.1 M78 (\text{classe 13.8.2.a})$$

$$M_{f2} = 85.334 \quad M_p = 0 \quad M_{R2} = \phi Z_a F_y = 0.9 \times 446 \times 10^3 \times 260$$

$$M_{R2} = 104.36 \text{ KN.m}$$

$$\text{d'où } \frac{85.334}{104.36} = 0.86 < 1.0 \quad \text{O.K}$$

La résistance à la flexion est assurée.

III. 5.3 Vérification de la stabilité locale

$$\frac{\gamma}{c_r} + \frac{0.85 M_p}{M_u} \leq 1.0 \text{ clause 13.8.2 b } S16,1 M78$$

$$C_r = \phi A F_y = 0.9 \times 5860 \text{ mm}^2 \times 260 \text{ MPa} = 1371.24 \text{ kN}$$

$$M_f = 85.334$$

$$\text{on a } \frac{11.142}{1371.24} + \frac{0.85 \times 85.334}{104.36} = 0.70 < 1$$

La relation étant vérifiée, la stabilité locale est assurée

III. 5.4 Vérification de la stabilité générale

$$\frac{\gamma}{c_r} + \frac{w_x M_p}{M_u (1 - \gamma/c_{ex})} + \frac{w_y M_p}{M_{yy} (1 - \gamma/c_{ey})} \leq, \text{ clause 13.8.2. c}$$

Le profilé n'est pas latéralement supporté : le moment ultime

$$M_u = \frac{\pi}{w \times L} \sqrt{E I_y G J + \left(\frac{\pi E}{L} \right)^2 I_y C_w}$$

$$M_u = \frac{\pi}{1 \times 9044} \sqrt{200,000 \times 9 \times 10^6 \times 77,000 \times 221 \times 10^3 + \left(\frac{\pi \times 200,000}{9044} \right)^2 \times 9 \times 10^6 \times 141 \times 10^9}$$

$$M_u = 108.75 \text{ kN.m}$$

$$M_U = 108.75 \text{ KN.m}$$

$$M_p = Z_a F_y = 446 \times 10^3 \times 260 = 115.96 \text{ KN} \\ Z_a \text{ in } \text{mm}^3 \quad F_y \text{ in MPa}$$

$$\frac{2}{3} M_p = 77.33 \text{ KN.m}$$

$$M_U > \frac{2}{3} M_p$$

$$M_r = 1.15 \phi M_p \left(1 - \frac{0.28 M_p}{M_U} \right) \leq \phi M_p$$

$$M_r = 84.185 \text{ KN.m}$$

$$\lambda = \frac{KL}{h_a} \sqrt{\frac{F_y}{\pi^2 E}} = \frac{0.98 \times 9044}{87.7} \times 0.015$$

$$\lambda = 1.162$$

$$K \approx 0.98$$

$$1 \leq \lambda \leq 2.0 \Rightarrow C_r = \phi A F_y \left(-0.111 + 0.636 \lambda^{-1} + 0.087 \lambda^{-2} \right)$$

$$C_r = 0.9 \times 5860 \times 260 \left[-0.111 + 0.636 (1.162)^{-1} + 0.087 (1.162)^{-2} \right]$$

$$C_r = 686.67 \text{ KN}$$

$$C_{ea} = \frac{1970000}{\left(\frac{KL}{h_a}\right)^2} A = \frac{1970000}{(101.0618)^2} \times 5860$$

$$C_{ea} = 1130.29 \text{ KN}$$

$M_f = 0$ inutile de calculer C_{ey} $M_y = 0$

$$\frac{G}{K_r} + \frac{W_a M_f}{M_{xx} \left(1 - \frac{C_f}{K_{ea}} \right)} \leq 1.0$$

$$\frac{11.142}{686.87} + \frac{0.85 \times 25.334}{84.195 \left(1 - \frac{11.142}{1130.24} \right)} = 0.86 < 1.0 \text{ OK.}$$

Après avoir vérifié que le profilé résiste
- à la flexion

- à la stabilité locale

- à la stabilité générale

mais devons vérifier que les contraintes normales transversales n'entraînent pas un web crippling et que la stabilité de l'âme est assurée

web crippling

$$B_r = 1.25 \phi W(N+K) F_y > V_f \text{ clause 13.8 b}$$

$$B_r = 1.25 \times 0.9 \times 7.2 (0+24) \times 260$$

$$B_r = 50.544 \text{ KN} > V_f \quad \text{OK}$$

stabilité de l'âme

$$B_r = \phi \frac{115000}{\left(\frac{b}{w}\right)^2} \left[5.5 + \frac{4}{\left(\frac{a}{h}\right)^2} \right] \times A$$

$\frac{a}{h} = \infty$ il n'y a pas de raidisseurs

$$B_r = 0.9 \times \frac{115000}{\left(\frac{181}{7.2}\right)^2} \left[5.5 + 0 \right] = 5278.475 \text{ KN} > V_f$$

En conclusion le profilé choisi convient pour la membrure CD. Nous aurons le même type de profilé pour la membrure BC on effet on peut facilement faire les mêmes vérifications précédentes:

$$\text{pour } BC \quad M_f = 74.279 \text{ KN.m}$$

$$G_f = 11.142 \text{ KN}$$

$$V_f = 12.715 \text{ KN}$$

$$1 - \underline{\text{résistance à la flexion}} \quad \frac{M_f}{M_{Rn}} + \frac{M_f y}{M_{Ry}} = \frac{77.06}{104.36} + \frac{0.85 \times 74.279}{104.36} = 0.74 < 1.0$$

$$2 - \underline{\text{stabilité locale}} \quad \frac{G_f}{C_r} + \frac{0.85 M_f}{M_{Rn}} = \frac{11.142}{1371.24} + \frac{0.85 \times 74.279}{104.36} = 0.61 \leq 1.0$$

3 - stabilité générale

$$\frac{G_f}{C_r} + \frac{\frac{W_x M_f}{M_{Rn}}}{1 - \frac{G_f}{C_{cr}}} \leq 1.0$$

$$\frac{11.142}{686.87} + \frac{0.85 \times 74.279}{84.185 \left(1 - \frac{11.142}{1130.29}\right)} = 0.77 < 1.0$$

4 - web crippling

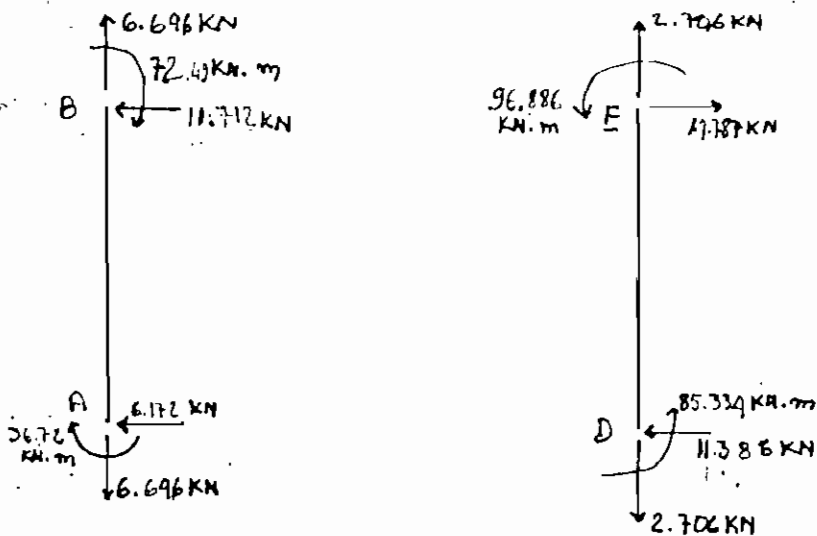
$$B_r = 50.544 > V_f = 12.715 \text{ KN}$$

5 - stabilité de l'arête

$$B_r = 5278.475 \text{ KN} > V_f$$

III.5.5 Étude des membrures AB et DE cadre intérieur

La combinaison d' $D + Q + Q$: les colonnes sont en traction



Le fait que les colonnes soient en traction s'explique par la raison suivante: l'effet de la puccion sur le comble est supérieur à l'effet du poids mort.

Pour l'étude des colonnes nous utilisons les profils tubulaires à cause des avantages qu'ils offrent:

- bonne résistance à la traction et à la compression
- forte capacité portante de charge
- coût peu élevé pour tonnes de charge supportée
- très bonne résistance au flambage

Dans notre chapitre II page 18 nous avions fait un choix d'inertie de porte, que l'inertie des membrures BC et CD soit double de l'inertie des colonnes AB et DE.

Notre choix des colonnes sera donc guidé par l'inertie des membrures BC et CD

pour BC et CD W200x46 $I_z = 45.5 \times 10^6 \text{ mm}^4$

Tan les colonnes AB et DE nous devons avoir

$$I = \frac{45.5 \times 10^6 \text{ mm}^4}{2} = 22.75 \times 10^6 \text{ mm}^4$$

Considérons un profilé carré

$$177.8 \times 177.8 \times 7.95$$

Values tirés du catalogue

$$A = 5240 \text{ mm}^2$$

$$I = 24.8 \times 10^6 \text{ mm}^4$$

$$S = 279 \times 10^3 \text{ mm}^3$$

$$r = 68.8 \text{ mm}$$

$$Z = 330 \times 10^3 \text{ mm}^3$$

Les colonnes subissent une traction et une flexion

Il suffira de vérifier la clause 13.4 (a)

et la clause 13.4 b

$$\frac{T_f}{T_r} + \frac{M_f}{M_r} \leq 1.0 \quad \text{clause 13.9 (g) 516.1 M78}$$

pour la colonne AB

$$T_f = 6.696 \text{ kN}$$

$$M_f = 72.497 \text{ kN.m}$$

$$T_r = \phi A F_g = 0.9 \times 5240 \times 260 = 1226.16 \text{ kNm}$$

$$A = 5240 \text{ mm}^2 \quad F_y = 260 \text{ MPa}$$

$$M_r = \phi Z F_g = 0.9 \times 330 \times 10^9 \text{ mm}^3 \times 260 \text{ MPa} = 77.22 \text{ kNm}$$

$$\frac{T_f}{T_r} + \frac{M_f}{M_r} \leq 1.0$$

$$\frac{6.696}{1226.16} + \frac{72.497}{77.22} = 0.94 < 1 \quad \text{O.K}$$

La relation est donc vérifiée.

On doit aussi vérifier la clause 13.9 (b)

$$\frac{M_f}{M_r} - \frac{T_f Z}{M_r A} \leq 1.0$$

$$\frac{72.497}{77.22} - \frac{6.696 \times 330 \times 10^3}{77.22 \times 5240 \times 10^3} = 0.93 \leq 1.0 \quad \text{O.K}$$

pour la colonne DE la clause 13.9 (a) n'est pas vérifiée

clause 13.4 (b)

$$\frac{M_f}{M_r} = \frac{T_f \cdot Z}{M_r \cdot A} \leq 1.0$$

$$\frac{72.497}{100.48} - \frac{6.696 \times 385 \times 10^3}{100.48 \times 6180 \times 10^3} = 0.70 < 1 \quad O.K$$

colonne DE

$$T_f = 2.706 \text{ kN}$$

$$M_f = 96.886 \text{ kN.m}$$

clause 13.4 (a)

$$\frac{T_f}{T_r} + \frac{M_f}{M_r} \leq 1.0$$

$$\frac{2.706}{1613} + \frac{96.886}{100.48} = 0.96 < 1 \quad O.K$$

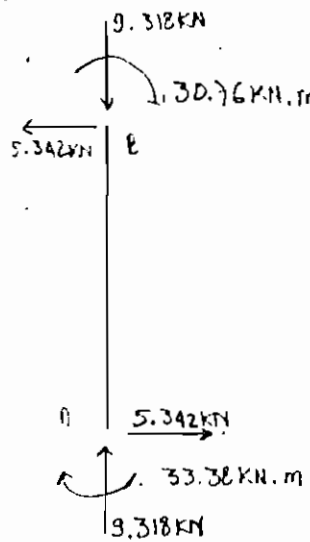
clause 13.4. (b)

$$\frac{M_f}{M_r} - \frac{T_f \cdot Z}{M_r \cdot A} \leq 1.0$$

$$\frac{96.886}{100.48} - \frac{2.706 \times 385 \times 10^3}{100.48 \times 6180 \times 10^3} = 0.96 < 1 \quad O.K$$

On conclut donc que le choix d'un HSS 177.8x113.8x9.53 est satisfaisant pour les colonnes lorsqu'elles travaillent en traction.

Si dans l'étude précédente la combinaison donne des colonnes travaillant en traction, nous allons maintenant supposer le cas où il n'y a pas de vent c'est à dire seule agit la charge due au poids mort. Donc ce cas les membres AB et ED travaillent en compression, comme représenté ci-dessous. Il faut alors vérifier que le profil choisi précédemment convient.



Les valeurs de design étant

$M_f =$	33.38 KN.m
$V_f =$	5.342 KN
$C_f =$	9.318 KN

III. 5.6 Etude des colonnes AB et ED

lorsqu'elles travaillent en compression

(voir page 100)

III. 5.6. a Résistance à la flexion du profilé

$$\frac{M_{fz}}{M_{eu}} + \frac{M_{f\theta}}{M_{eu}} \leq 1.0 \quad (\text{classe 13.8.2.a})$$

$$M_{fz} = 33.38 \text{ KN.m} \quad M_{f\theta} = 0$$

$$V_f = 5.342 \text{ KN}$$

$$M_{eu} = \phi c_r F_y = 0.9 \times 385 \times 10^3 \text{ mm}^3 \times 290 \text{ N/mm}^2 = 100.49 \text{ KN.m}$$

$$\text{d'où } \frac{33.38}{100.49} + 0 = 0.33 < 1.0 \quad \text{O.K}$$

III. 5.6. b stabilité locale

$$\frac{c_f^p/c_r}{M_{eu}} + \frac{0.85 M_{fz}}{M_{eu}} \leq 1.0 \quad (\text{classe 13.8.2.b})$$

$$c_f^p = 9.318 \text{ KN} \quad M_{fz} = 33.38 \text{ KN.m} \quad c_r = \phi A F_y$$

$$c_r = 0.9 \times 6180 \times 290 = 1612.98 \text{ KN} \quad M_{eu} = 100.49 \text{ KN.m}$$

$$\text{d'où } \frac{9.318}{1612.98} + \frac{0.85 \times 33.38}{100.49} = 0.29 < 1 \quad \text{O.K}$$

III. 5.6. c stabilité générale

$$\frac{c_f^p/c_r}{M_{eu}} + \frac{w_a M_{fz}}{M_{eu} (1 - c_f^p/c_{eu})}$$

Nous savons que les colonnes supportent des lises qui savent à supporter la couverture que nous étudierons dans les parties qui vont suivre
L'espacement des lises est de 2m voire page 49
Par conséquent les colonnes seront supportées latéralement sur les 2m. Cette distance n'étant pas très grande nous les apposserons latéralement

$$M_r = \phi M_p = \phi Z_e F_y = 100.49 \text{ KN.m}$$

la clavette 13.18.2.c devient

$$\frac{9.318}{1612.49} + \frac{1 \times 33.38}{100.49 \left(1 - \frac{9.318}{C_{sa}} \right)} \leq 1.0$$

Calcul de $C_{sa} = \frac{1970,000}{\left(\frac{KL}{r_a}\right)^2} \text{ A}$

$$C_{sa} = \frac{1970,000}{\left(\frac{0.98 \times 12000}{68}\right)^2} \times 6180 = 407.059 \text{ KN}$$

d'où l'équation ci-dessous d'avant

$$0.35 < 1 \quad O.K$$

On conclut que le profilé choisi convient pour les colonnes.

ANNEXE III. 6cadre extérieur

$$M_f = 85.334 \text{ KN.m} \times 0.5 = 42.667 \text{ KN.m}$$

$$G = 11.142 \text{ KN} \times 0.5 = 5.571 \text{ KN}$$

$$V_f = 0.715 \text{ KN} \times 0.5 = 0.357$$

Ces valeurs sont obtenues de la combinaison D+deQ

Pour un 1^{er} essai nous choisissons les profils les plus légers possibles.

$$Z_a = \frac{M_{max}}{\phi F_y} = \frac{42667}{0.9 \times 260} = 182.3 \times 10^3 \text{ mm}^3$$

Pour des raisons que nous avons évoquées précédemment nous n'utiliserons pas les profils tubulaires pour les profils travaillant en flexion

Choix W180x28 - catalogue

$$A = 3590 \text{ mm}^2$$

$$J = 181 \times 10^3 \text{ mm}^4$$

$$W = 6.9 \text{ mm}$$

$$I_a = 11 \times 10^6 \text{ mm}^4$$

$$C_w = 13.8 \times 10^9 \text{ mm}^6$$

$$K = 20 \text{ mm}$$

$$Z_a = 191 \times 10^3 \text{ mm}^3$$

$$d = 131 \text{ mm}$$

$$d - et = 109 \text{ mm}$$

$$S_y = 3.81 \times 10^6 \text{ mm}^4$$

$$b = 128 \text{ mm}$$

$$n_y = 32.6 \text{ mm}$$

$$t = 10.9 \text{ mm}$$

III. 6.1 Classe du profilé

permette $b/2t = \frac{128}{2 \times 10.9} = 6.82 \quad \frac{145}{\sqrt{F_y}} = \frac{145}{\sqrt{260}} = 8.99$

$$\frac{b}{2t} < \frac{145}{\sqrt{F_y}} \Rightarrow \text{profilé de classe 1}$$

$$\text{âme} \quad \frac{h}{w} = \frac{109}{6.9} = 15.9 \quad \frac{1100}{\sqrt{F_y}} = 68.23$$

$\frac{h}{w} < \frac{1100}{\sqrt{F_y}}$ \Rightarrow l'âme du profil est de classe 1.
En conclusion le profil est de classe 1, le voilement n'est pas à craindre.

force de compression pondérée

$$C_r = \phi A F_y \quad \phi = 0.9 \quad A = 3590 \text{ mm}^2 \quad F_y = 260 \text{ MN}$$

$$C_r = 0.9 \times 3590 \times 260 = 840.06 \text{ kN}$$

III. 6.2 Vérification de la résistance à la flexion

$$\frac{M_{f2}}{M_{re}} + \frac{M_f}{M_{fy}} \leq 1.0 \quad \text{SI 6.1 M78 (classe 13.8.2.a)}$$

$$M_{f2} = 42.667 \text{ kN.m} \quad M_f = 0 \quad M_{re} = \phi Z_e F_y$$

$$M_{re} = 0.9 \times 191 \times 10^3 \times 260 = 44.694 \text{ kN.m}$$

$$\frac{M_{f2}}{M_{re}} + \frac{M_f}{M_{fy}} = \frac{42.667}{44.694} + 0 = 0.95 < 1 \quad \text{O.K}$$

III. 6.3 Vérification de la stabilité générale

$$\frac{C_f}{C_r} + \frac{0.85 M_{f2}}{M_{re}} \leq 1.0 \quad (\text{classe 13.8.2.b})$$

$$C_r = \phi A F_y = 840.06 \text{ kN}$$

$$\text{d'où} \quad \frac{5.571}{840.06} + \frac{0.85 \times 42.667}{44.694} = 0.88 < 1.0$$

la stabilité générale est assurée.

III. 6.1 Vérification de la stabilité générata

$$\frac{\delta_{cr}}{c_r} + \frac{w_x M_{fr}}{M_{fr}(1 - \delta/c_{ea})} + \frac{w_y M_{fy}}{M_{fy}(1 - \delta/c_{ey})} \leq 1.0 \text{ (clause 13.8.2.b)}$$

Le profil n'étant pas appuyé latéralement nous calculons le moment ultime M_u

$$M_u = \frac{\pi}{w x L} \sqrt{E I_g G J + \left(\frac{\pi E}{L} \right)^2 I_g C_w}$$

$$M_u = \frac{\pi}{1 \times 9000} \sqrt{200,000 \times 3.81 \times 10^6 \times 77000 \times 131 \times 10^3 + \left(\frac{\pi \times 200,000}{9000} \right)^2 \times 3.81 \times 10^6 \times 13.8 \times 10^9}$$

$$M_u = 30.953 \text{ KN.m}$$

$$M_p = Z_a F_y = 191 \times 10^3 \text{ mm}^3 \times 260 \text{ MPa} = 49.66 \text{ KN.m}$$

$$\frac{2}{3} M_p = 33.107 \text{ KN.m}$$

$$M_u < \frac{2}{3} M_p$$

$$\text{clause 13.6} \quad M_n = \phi M_u = 27.408 \text{ KN.m}$$

$$\frac{KL}{r_n} = \frac{0.98 \times 9000}{55.3} = 160.273$$

On prend $K \approx 0.98$ d'après note de casse P. ADAMS.

$$\lambda = \frac{KL}{r} \sqrt{\frac{F_d}{\phi \pi^2 E}} = 160.273 \sqrt{\frac{260}{\pi^2 \times 200,000}}$$

$$\lambda = 160.273 \times 0.0115 = 1843$$

$$1 \leq \lambda \leq 2$$

$$C_2 = \phi A F_y (-0.111 + 0.636 \lambda^{-1} + 0.087 \lambda^{-2})$$

$$C_2 = 0.9 \times 3590 \times 260 \left(-0.111 + 0.636 \frac{1}{1.843} + 0.087 \frac{1}{(1.843)^2} \right)$$

$$\underline{C_2 = 218.166 \text{ KN}}$$

$$C_{\text{en}} = \frac{1970000}{(k/w)^2} A = \frac{1970000}{(160.273)^2} \times 3590 = 275.32 \text{ KN}$$

Donc la clause 13.2.c donne

$$\frac{5.571}{218.166} + \frac{1 \times 42.667}{44.694 \left(1 - \frac{5.571}{275.32} \right)} = 0.99 < 1.00$$

La stabilité générale est donc assurée

III.6.5 Vérification des contraintes normales transversales

Web crippling

$$\text{clause 13.8 (b)} \quad B_n = 1.25 \phi w (N+K) F_y$$

$$B_n = 1.25 \times 0.9 \times 6.9 (0+20) \times 260$$

$$B_n = 40.365 \text{ KN} > V_f = 0.357 \text{ O.K}$$

Stabilité de l'âme

$$B_n = \phi \frac{115000}{(h/w)^2} \left[5.5 + \frac{4}{(a/b)^2} \right] \times A$$

Il n'y a pas de raidisseurs $a/h \approx \infty$

$$B_n = 0.9 \times \frac{115000}{(109/6.9)^2} \left[5.5 + 0 \right] \times 3590 = 8189.22 \text{ KN} > V_f$$

Les contraintes normales transversales n'ont aucun effet dangereux sur la structure.

Le profilé choisi, convient et nous adoptons le même type de profilé pour la membrure BC qui protège le chargement le moins critique.

III.6.6. Etude des colonnes AB et ED

Notre choix est guidé par le fait que l'inertie des colonnes doit être la moitié de l'inertie des membrures BC et CD ($11 \times 10^6 \text{ mm}^4$)

$$I = \frac{11 \times 10^6}{2} = 5.5 \times 10^6 \text{ mm}^4$$

Soit un profilé tubulaire de section carrée

$127 \times 127 \times 11.1$

$$A = 4840 \text{ mm}^2$$

$$r = 5.59 \times 10^6 \text{ mm}^4$$

$$r = 49.6 \text{ mm}$$

Les colonnes subissent une traction et une flexion

$$\frac{T_f}{T_r} + \frac{M_f}{M_r} \leq 1.0 \quad \text{classe 13.9 (a)}$$

colonne AB

$$T_f = 11.712 \times 0.5 = 5.856 \text{ KN}$$

$$M_f = 72.497 \times 0.5 = 36.249 \text{ KN}$$

$$T_n = \phi A F_y = 0.9 \times 4840 \times 290 = 1263.24 \text{ KN}$$

$$M_2 = \phi z_2 F_y = 0.9 \times 205 \times 10^3 \times 290 = 53.5 \text{ kN.m}$$

$$\text{clause 13.9 (a)} \quad \frac{5.586}{1263.24} + \frac{36.249}{53.5} = 0.68 < 1 \text{ O.K}$$

$$\frac{M_f}{M_2} - \frac{T_f \cdot z}{M_2 \cdot A} \leq 1.0 \quad \text{clause 13.9 (b)}$$

$$\frac{36.249}{53.5} - \frac{5.586 \times 10^3 \times 205 \times 10^3}{53.5 \times 10^3 \times 10^3 \times 4840} = 0.67 < 1$$

Le profilé convient pour la colonne AB

colonne ED

$$T_f = 14.782 \times 0.5 = 7.391 \text{ kN}$$

$$M_f = 96.286 \times 0.5 = 48.443 \text{ kN.m}$$

$$T_2 = 1263.24 \text{ kN}$$

$$T_2 \cdot M_2 = 53.5 \text{ kN}$$

$$\text{clause 13.9. (a)} \quad \frac{T_f}{T_2} + \frac{M_f}{M_2} \leq 1.0$$

$$\frac{7.391}{1263.24} + \frac{48.443}{53.5} = 0.91 < 1$$

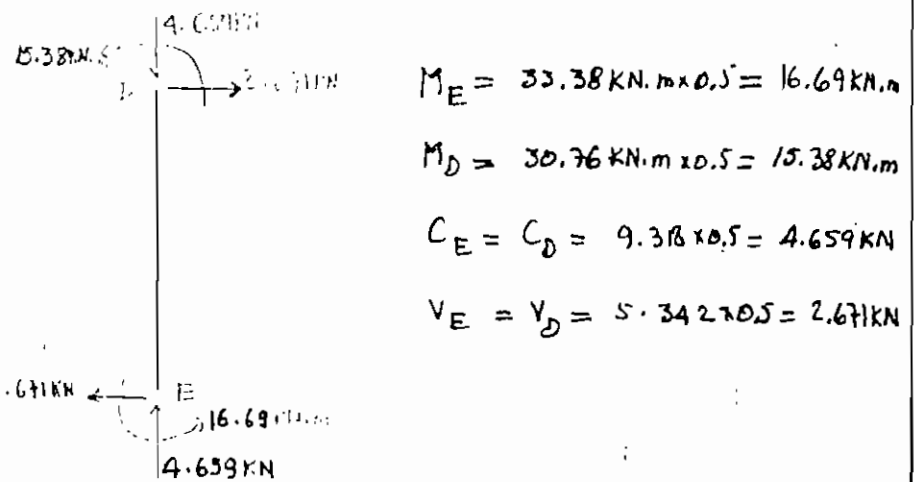
$$\text{clause 13.9 (a)} \quad \frac{M_f}{M_2} - \frac{T_f \cdot z}{M_2 \cdot A} \leq 1.0$$

$$\frac{48.443}{1263.24} - \frac{7.391 \times 205 \times 10^3}{53.5 \times 10^3 \times 4840} = 0.032 < 1 \text{ O.K}$$

III. 6.7) Etude des colonnes au cas où elles travaillent en compression

Nous allons maintenant faire l'étude du cadre pour seule charge due au poids mort.

III. 6.7.a Résistance à la flexion



Ces valeurs sont tirées du tableau de la page

$$\text{Clause 13.8.2. a} \quad \frac{M_{fa}}{M_u} + \frac{M_{fy}}{M_{ry}} \leq 1.0$$

$$M_{fa} = 16.69 \text{ KN.m} \quad M_{fy} = 0$$

$$M_u = 53.5 \text{ KN.m} \quad \text{d'où } \frac{16.69}{53.5} = 0.31 < 1.0 \quad O.K$$

III. 6.7.b Stabilité locale

$$\frac{c_p}{C_r} + \frac{0.85 M_{fa}}{M_u} \leq 1.0$$

$$c_p = 4.659 \text{ KN} \quad C_r = \phi A_f y = 1263.24 \text{ KN}$$

$$\text{d'où } \frac{4.659}{1263.24} + \frac{0.85 \times 16.69}{53.5} = 0.27 < 1.0 \quad O.K$$

III . 6.7. c Stabilité générata

$$\frac{M_{cr}}{C_r} + \frac{w_n M_p}{M_{cr} \left(1 - \frac{M_{cr}}{M_{cr}} \right)} \leq 1.0$$

Pour les raisons que nous avons évoquées à la page ii $M_{cr} = \phi M_p = \phi z_e F_y = 53.5 \text{ KN.m}$

$$C_r = \frac{1,970,000}{\left(\frac{kL}{r_e} \right)^2} A$$

$$C_r = \frac{1,970,000}{\left(\frac{0.98 \times 12000}{49.6} \right)^2} \times 4840 = 169.613 \text{ KN}$$

d'où la relation

Calcul de C_r

4.659

$$\lambda = \left(\frac{kL}{r} \right) \sqrt{\frac{F_y}{\pi^2 E}} = 237.096 \times 0.012 = 2.87$$

$$2 < \lambda \leq 3.6 \quad C_r = \phi A F_y (0.009 + 0.837 \lambda)^{-c}$$

$$C_r = 145.869 \text{ KN}$$

$$\text{d'où } \frac{4.659}{145.869} + \frac{1 \times 16.69}{53.5 \left(1 - \frac{4.659}{169.613} \right)} = 0.35 < 1.0 \quad \text{O.K}$$

Donc le profil choisi précédemment convient pour les cadres extérieurs.

ANNEXE IV.A. 1°

1° cadre de rive

niveau Dou B colonnes A ou E D (surface tributaire 9m²)

- couverture : $5.18 \text{ kg/m}^2 \times 9 \text{ m}^2 \times 9.81 = 457.344 \text{ N}$
- imperméabilisation, isolation $120 \text{ N/m}^2 \times 9 \text{ m}^2 = 1080 \text{ N}$
- poids propre de la membrane couverte

$$23 \text{ kg/m} \times 9.81 \times 3 \text{ m} = 824.04 \text{ N}$$

- éléments mécaniques suspendus $200 \text{ N/m}^2 \times 9 \text{ m}^2 = 1800 \text{ N}$
- poids propre des pannes $3 \times 11 \text{ kg/m} \times 9.81 \times 3 \text{ m} = 971.19 \text{ N}$

$$\underline{\underline{5132.574 \text{ N}}}$$

niveau des fondations

- charge venant du niveau supérieur : 5132.574 N
- poids propre de la colonne $37.1 \text{ kg/m} \times 12 \text{ m} \times 9.81 = 4549.387 \text{ N}$

$$\underline{\underline{9888.661 \text{ N}}}$$

- couverture $5.18 \text{ kg/m}^2 \times 9.81 [12 \text{ m} \times 3 \text{ m} \times 2 + 0.3 \text{ m} \times 3 \text{ m} \times 0.5] = 2888.688 \text{ N}$
- poids propre des linceaux $11 \text{ kg/m} \times 9.81 \times 6 \text{ m} \times 5 = 3237.3 \text{ N}$

$$\underline{\underline{16600.866 \text{ N}}}$$

colonnes HJ ou MN niveau J ou N

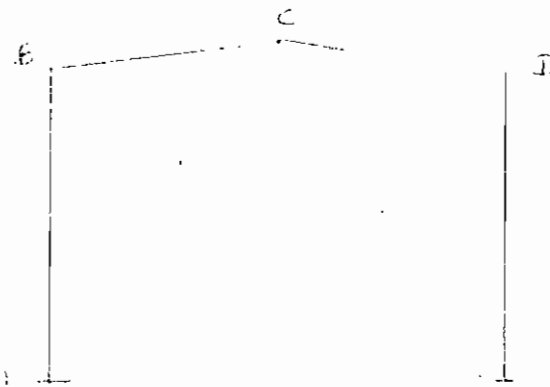
(surface tributaire $3m \times 3m = 9m^2$)

- couverture	$5.18 \text{ kg/m}^2 \times 9 \text{ m}^2 \times 9.81$	=	457.344 N
- imperméabilisation, isolation		=	1080 N
- poids propre des parois (575x11)			
	$4 \times 11 \text{ kg/m} \times 9.81 \times 3 \text{ m}$	=	1294.92 N
- poids propre de la membrane CO		=	2 x 824.04 N
- éléments mécaniques suspendus		=	<u>1800 N</u>
total			6280.344 N

niveau des fondations

- venant du niveau supérieur	=	6280.344 N
- poids propre de la colonne		
	$37.4 \text{ kg/m} \times 13.1 \text{ m} \times 9.81$	= 4767.581 N
- couverture	$9.8 \times 5.18 \text{ kg/m}^2 \times [16.9 + 12.3] \times 1/2$	= 640.274 N
- poids propre des liseux		<u>2825.28 N</u>
total		14583.484 N

20.

Cadre intérieur

niveau Bou D (surface tributaire) $6m \times 9.04m$

- couverture $50.816 N/m^2 \times 6m \times 9.04m = 2756.26 N$
- imperméabilisation, isolation : $120 N/m^2 \times 6m \times 9.04m = 6508.8 N$
- poids propre des parois : $11 \text{kg}/m \times 9.81 \times 6m = 647.46 N$
- poids propre de la membrane CO : $28 \text{kg}/m \times 9.81 \times 9.04 = 2493.07 N$
- éléments mécaniques suspendus : $200 N/m^2 \times 6m \times 9.04m = 10848 N$
- total 23243.627N

niveau des fondations

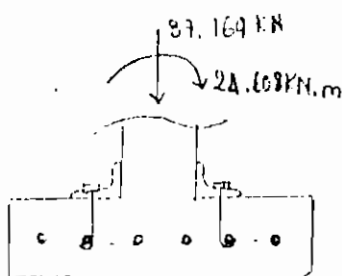
- Charge venant du niveau précédent : 23243.627N
- couverture $50.816 N/m^2 \times 6m \times 12m = 3658.762 N$
- poids propre de la colonne $48.44 \text{kg}/m \times 9.81 \times 12.5 = 5946.086 N$
- poids des lisses - 3237.3 N
- total 36085.765N

ANNEXE IV. B. 1^o Cadre intérieur

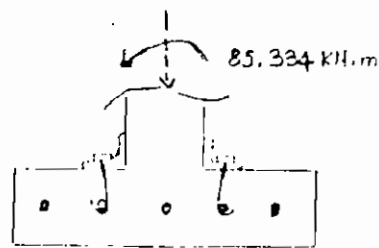
Dans cette partie nous nous proposons de faire l'étude des permétes du cadre intérieur. Nous supposons que la contrainte admissible du sol au Sine Saloum est 2 kg/cm^2

$$\text{port quad} = 200 \text{ KN/m}^2$$

Nous pourrons à étudier 2 cas : un cas où seul agit le poids mort et un cas où agit et le poids mort et le vent. Approximativement nous présentons les deux cas. (non dimensionné)



chargement D



chargement D+q

1. Dans le cas du chargement D, nous avons une force de compression $P_c = 36.086 \text{ KN} \times 1.03 = 37.169 \text{ KN}$

(Nous majorons la charge de 3% pour tenir compte des effets de contreventement, d'équerrage, boulons dont le poids est difficilement évaluable :

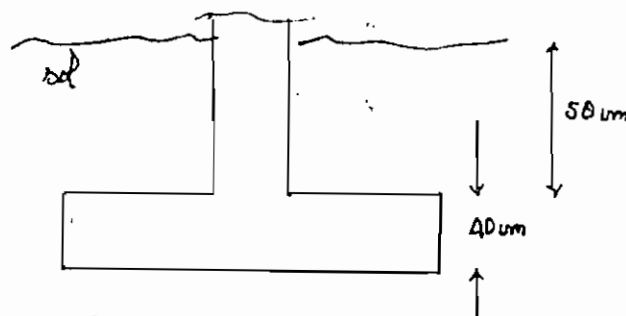
votre livre "Traité du Batiment" de ERNEST GUSTIN sur les

- charpentes métalliques.) $M_s = \frac{30,76 \text{ KN.m}}{1,25} = 24,608 \text{ KN.m}$

2 - Pour le cas du chargement D+Q nous savons que les colonnes travaillaient en traction. La faible force de traction que nous avons trouvée (2.706 KN) se retranche du poids des lames 3.237 KN et on a une faible force de compression de 0.631 KN. Cette force est très faible par rapport au moment de 85.334 KN.m ($\approx \frac{1}{100}$) on peut considérer que seul agit le moment. Le cas est moins critique que le cas précédent et nous étudierons le cas où les colonnes travaillent en compression, qui donne le chargement le plus critique.

Nous supposons que le poids volumique du sol et $w_s = 15 \text{ kN/m}^3$
 Béton $w_b = 24 \text{ kN/m}^3$
 surcharge 5 kN/m^2

Comme dimension préliminaire nous supposons que la poutrelle a une épaisseur de 40cm



La contrainte effective

$$\begin{aligned} q_e &= q_a - w_s \cdot 0.5m - w_b \cdot 0.4m - 5 \text{ kN/m}^2 \\ &= 200 \text{ kN/m}^2 - 7.5 \text{ kN/m}^2 - 12 \text{ kN/m}^2 - 5 \text{ kN/m}^2 \end{aligned}$$

$$q_e = 175.5 \text{ kN/m}^2$$

Conformément aux figures précédentes

$$\begin{cases} M_s = 24.608 \text{ kN.m} \\ P_s = 37.169 \text{ kN} \end{cases}$$

$$\text{l' excentricité } e = \frac{24.608 \text{ kN.m}}{37.169} = 0.66 \text{ m}$$

Mais avons que la contrainte

$$q = \frac{P}{B \times L} \left(1 \pm \frac{6e}{L} \right)$$

Une condition à satisfaire pour qu'il n'y ait pas de tension est $L \geq 6e = 3.96\text{ m}$

L = longueur de la poutrelle

B = largeur de la poutrelle

Cette condition satisfait donne $q_{\max} = 0$

$$B = \frac{P}{q_{\max} \times L} \left(1 + \frac{3.96}{L} \right) \quad L = 3.96\text{ m}$$

$$B = \frac{37.169}{175.5 \times 3.96} \left(1 + 1 \right) = 0.107\text{ m}$$

Une telle dimension ne convient pas compte tenu des dimensions du plateau 177.8×177.8

Nous choisirons $B = 0.5\text{ m}$ $L = 4\text{ m}$

Charges majorées

$$\begin{cases} P_0 = 37.169 \times 1.4 = 52.037\text{ kN} \\ M_0 = 24.608 \times 1.7 = 41.893\text{ kN.m} \end{cases}$$

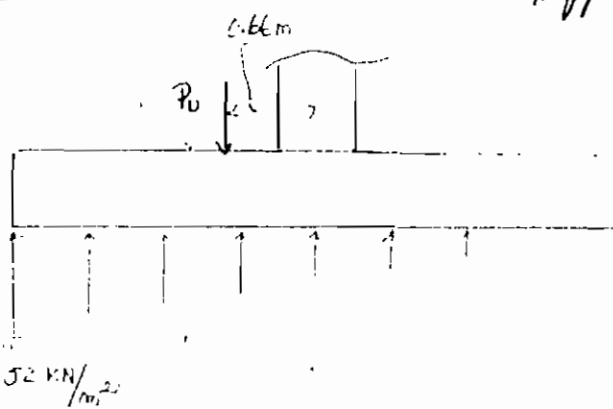
La contrainte effective que nous devons de design est $q_{\max} = \frac{P}{B \times L} \left(1 + \frac{6e}{L} \right)$

$$q_{\max} = \frac{52.037 \times 2}{0.5 \times 4\text{ m}} = 52.037\text{ kN/m}^2$$

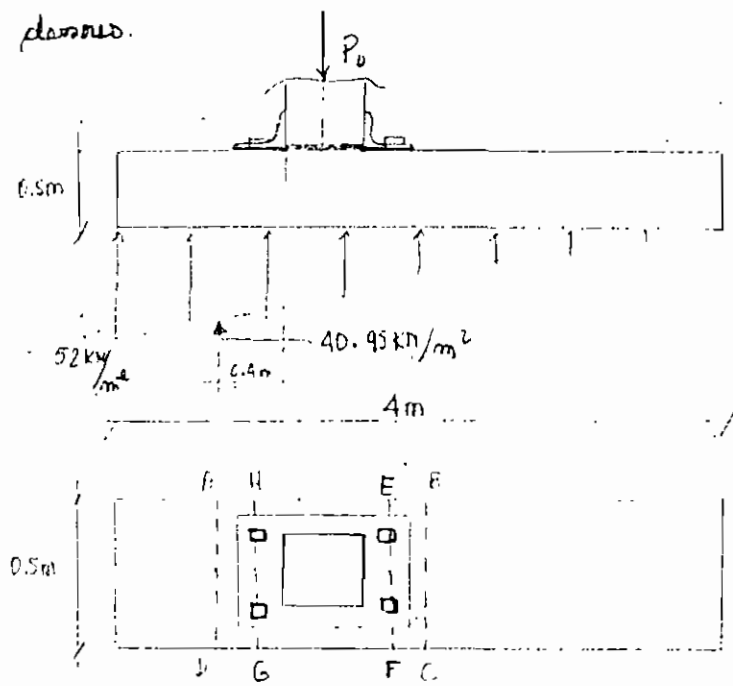
IV B. 1^e a Cisaillement

La poutre a un comportement dans une direction. On se propose de vérifier le cisaillement de poutre pour avoir l'épaisseur de la poutre. Le cisaillement de poutre se vérifie à une distance d .

Nous supposons $d = 0.4\text{ m}$



Il faut alors créer l'excentricité d'ici le schéma ci-dessous.



$$\text{Le ciâilllement } V_u = \frac{52 \text{ KN/m}^2 + 40.95 \text{ KN/m}^2}{2} \times 0.85 \text{ m}$$

$$V_u = 39.5 \text{ KN}$$

D'après CAN3-A23.3 M77 la contrainte de ciâilllement $v_u = \frac{V_u}{\phi b d}$ (classe 15.6.4)

$$b = \text{l'largeur de la pâlon} = 0.5 \text{ m}$$

$d = \text{distance comprise entre la fibre la plus comprimée et le centre de gravité de l'armature tendue} = 0.4 \text{ m}$

$$\phi = 0.85$$

$$v_u = \frac{39.5 \text{ KN}}{(0.85 \times 0.5 \times 0.4) \text{ m}^2} = 0.232 \text{ MPa}$$

La norme pâpons du béton 20 MPa = f_c'

D'après classe 9.5.1 la contrainte de ciâillage maximum est $v_c = 0.17 \sqrt{f_c'} = 0.76 \text{ MPa}$

$$v_u = 0.232 \text{ MPa} < v_c \quad O.K$$

Donc notre dimension $d = 0.4 \text{ m}$ est correcte

IV. B 1. b Poinçonnage

Parce que la faible largeur de la pânelle choisie, un comportement de pâonnement de la colonne à travers la pânelle est pratiquement impossible selon un mécanisme par deux directions.

On sait que le poinçonnement se vérifie à $\frac{d}{2}$ de la colonne. On vérifiera la contrainte maximale agissant sur la face BC, comparativement à la contrainte maximale de poinçonnement.

à $\frac{d}{2}$ de l'appui on trouve $q = 38.35 \text{ KN/m}^2$

$$V_u = \frac{52 \text{ KN/m}^2 + 38.35 \text{ KN/m}^2}{2} \times 1.05 \times 1$$

$$V_u = 47.434 \text{ KN}$$

$$n_u = \frac{V_u}{\phi b d} \quad (\text{norme A23.3 clause 9.11.3})$$

deux poteaux HG ou EF sont $d = 0.4 \text{ m}$

$$n_u = \frac{47.434 \text{ KN}}{0.85 \times 0.5 \times 0.4}$$

$$n_u = 0.279 \text{ MPa}$$

La contrainte maximale de poinçonnement est
(clause 9.11.4) $0.33 \sqrt{f_c} = 1.48 \text{ MPa}$

On a donc $n_u < 0.33 \sqrt{f_c}$ or il n'y a pas de poinçonnement.

IV. B. 10- c flascan

La contrainte à la face de la colonne est 35.75 KN/m^2

$$\text{Le moment } M = \frac{35.75 \times 1.25 \times 1.25 \times 0.5}{2} + \frac{52 - 35.75}{2} \times 1.25 \times \frac{2}{3} \times 1.25 \times 0.5$$

$$M = 18.197 \text{ KN.m}$$

La quantité d'acier est donnée par la formule

$$A_s = \left[1 - \sqrt{1 - \frac{4 M_R}{1.7 \phi b d f_y}} \right] \times \frac{0.85 f_y b d}{f_y}$$

$$A_s = \left[1 - \sqrt{1 - \frac{4 \times 0.010197}{1.7 \times 0.9 \times 0.5 \times 0.4} } \right] \times \frac{0.85 \times 20 \times 0.5 \times 0.4}{300}$$

$$A_s = 1.697 \times 10^{-4} \text{ m}^2$$

$$A_s = 170 \text{ mm}^2$$

$$A_s \text{ min} = \frac{1.4}{f_y} b \cdot d = \frac{1.4 \times 0.5 \times 0.4}{300} = 9.33 \times 10^{-4} \text{ m}^2$$

$$A_s \text{ min} = 933 \text{ mm}^2 \text{ pour } 10 \# 10 \text{ (10 barres n°10)}$$

puisque $A_s \text{ min} > A_s$ nous prenons $A_s \text{ min}$

Utilisation des tables du 'Metric Design Handbook'

$$k_v = \frac{M_y}{b d^2 \times 10^{-6}} = \frac{22.428}{500 \times (400)^2 \times 10^{-6}} = 0.28$$

(nous calculons avec $k_v = 0.6$ pour l'utilisation des tables et sachant qu'il une permise peut être considérée comme une dalle renforcée)

$$\text{On trouve } f = 0.023 < f_{\text{min}} = 0.0046$$

On aura donc à augmenter la quantité d'acier de 33% (selon CST clause 8.6.1) ce qui donne $f = 0.35$

Pour une question d'économie nous prendrons
 $f = f_{min}$ soit $A_s = 933 \text{ mm}^2$ où 10 barres #10
 Puisque nous avons un comportement une direction
 on mettra de l'acier de répartition dans l'autre
 direction. (clause 5.10.3)

$$A_s = 0.0018 bd$$

$$A_s = 0.0018 \times 500 \times 400 = 360 \text{ mm}^2$$

On mettra 4 barres #10

Dimensions de la semelle

$$d = 0.4 \text{ m} \quad h = d + 75 \text{ mm} + \frac{10}{2}$$

75mm = épaisseur d'enroulage barre #10

$$h = 400 \text{ mm} + 75 \text{ mm} + 5 \text{ mm} = 480 \text{ mm} \quad \text{part } h \approx 500 \text{ mm}$$

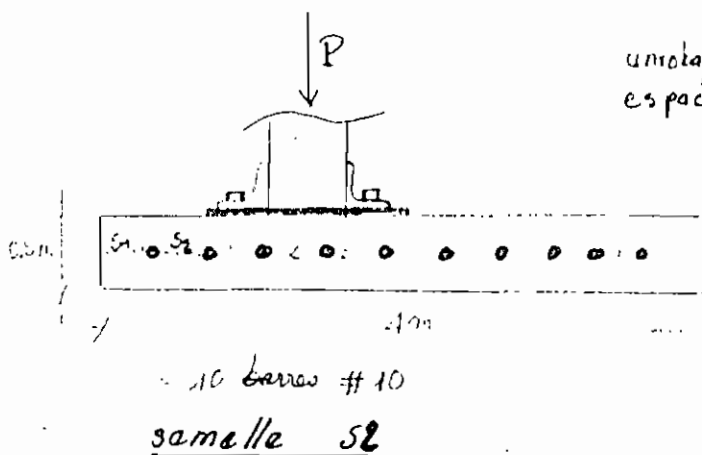
L = longueur de semelle = 4m

B = largeur de semelle = 0.5m

$$\text{d'où} \quad L \times B \times h = 4 \times 0.5 \times 0.5$$

Adhérence - ancrage

Compte tenu de la largeur réduite de la semelle
 nous aurons alors besoin de crochets pour les aciers
 de répartition. Cependant, ces aciers n'ont qu'un rôle de
 répartition. Dans le sens de la longueur il faudrait pour
 prévoir des crochets. Pour les barres #10 $l_0 = 300 \text{ mm}$



unloading $S_1 = 50\text{mm}$
spacing $S_2 = 160\text{mm}$

10 bars #10
sand 58

ANNEXE IV B. 2° - Cadre da rive

Charges de parvis $\begin{cases} M_s = 12.304 \text{ KN.m} \\ P_s = 16.6 \text{ KN} \times 4.03 = 17.098 \text{ KN} \end{cases}$

La contrainte effective $q = 175.5 \text{ KN/m}^2$

$$\text{L' eccentricité } e = \frac{M_s}{P_s} = \frac{12.304}{17.098} = 0.72 \text{ m}$$

La contrainte $q = \frac{P}{B \times L} \left(1 + \frac{6e}{L} \right)$ pour une poutrelle rectangulaire.

La condition qu'il n'y ait pas de tension sur la poutrelle s'écrit $L \geq 6e = 4.32 \text{ m}$

$$B = \frac{P}{q_{\max} + L} \left(1 + \frac{4.32}{L} \right)$$

$$B = \frac{17.098}{175.5 \times 4.32} \left(1 + 1 \right) = 0.045 \text{ m}$$

Une valeur est petite comparée aux dimensions du poteau 127×127 . Nous pouvons alors envisager d'augmenter cette valeur de B. soit $B = 0.5 \text{ m}$

et nous adoptons $L = 4 \text{ m}$

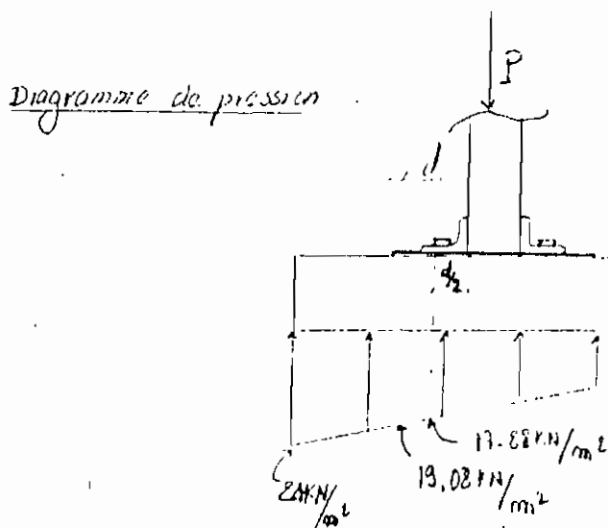
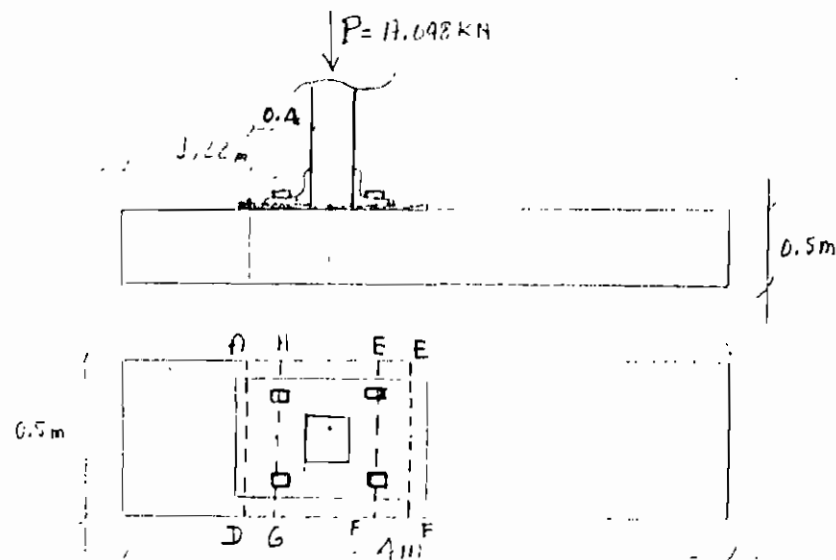
$$q_{\text{fond}} = q_{\max} = \frac{P}{B \times L} \left(1 + \frac{6e}{L} \right) \quad \begin{cases} P_u = 17.098 \times 1.4 \\ M_u = 12.304 \times 1.7 \end{cases}$$

$$q_{\max} = \frac{17.098 \times 1.4}{0.5 \times 4} \times 2 = 1.4 \times 17.098 \text{ KN/m}^2$$

$$q_{\max} = 23.94 \text{ KN/m}^2$$

IV B 2^e - Cisailllement

Comme précédemment on vérifie le cisailllement de partie pour avoir l'épaisseur de la poutre.
part $d = 0.4 \text{ m}$



Considérons la section AD et calculons la contrainte de

contrainte polycyclique de fatigue

$$\text{Le raccordement } V_u = \frac{24 + 19}{2} \times 0.82 = 17.63 \text{ kN}$$

D'après CAN3-A23.3 M77, la contrainte de raccordement $n_u = \frac{V_u}{\phi b d}$ (clause 15.6.1)

supposons $d = 0.4 \text{ m}$

$$n_u = \frac{17.63 \text{ kN}}{0.85 \times 0.5 \times 0.4 \text{ m}^2} = 0.104 \text{ MPa}$$

avec un béton 20 MPa

la contrainte de raccordement maximale est

$$n_c = 0.17 \sqrt{f'_c} = 0.76 \text{ MPa} \quad (\text{clause 9.5.1})$$

$$n_u = 0.104 \text{ MPa} < n_c \quad \text{O.K.}$$

La valeur de $d = 0.4 \text{ m}$ est correcte.

IV.B 2^e b Poinçonnage

De cause de la faible largeur de la poulie, un comportement de poinçonnage de la colonne à travers la poulie selon deux directions n'est pas à envisager. Étudions la section H.G ou à $\frac{d}{2}$ de la colonne. $V_u = \frac{24 + 17.88}{2} \times 1.02$

$$V_u = 21.359 \text{ kN}$$

$$n_u = \frac{V_u}{\phi b d} \quad (\text{norme A23.3 clause 9.11.3})$$

$$n_u = \frac{21.359}{0.85 \times 0.5 \times 0.4} = 0.127 \text{ MPa}$$

La contrainte maximale de poinçonnage $n_c = 0.33 \sqrt{f'_c} = 1.48 \text{ MPa}$

On donc vu ce qui prouve qu'il n'y aura pas de pincement.

IV.B. 2^e c fléchion

La contrainte en face de la colonne est de 16.68 KN/m²

$$\text{Le moment } M = 16.68 \times 1.22 \times 1.22 \times 0.5 \times 0.5$$

$$+ (24 - 16.68) \times 0.5 \times 1.25 \times \frac{2}{3} \times 1.25 \times 0.5$$

$$M = 8.114 \text{ KN.m}$$

La quantité d'acier

$$A_s = \left[1 - \sqrt{1 - \frac{4M_R}{1.7\phi b d e f_{c'}}} \right] \times \frac{0.85 f_{c'} b d}{f_y}$$

$$A_s = \left[1 - \sqrt{1 - \frac{4 \times 0.00814}{1.7 \times 0.9 \times 0.5 \times 0.6 \times 20}} \right] \times \frac{0.85 \times 20 \times 0.5 \times 0.4}{20}$$

$$A_s = 7.538 \times 10^{-5} \text{ m}^2 \quad A_s \approx 75 \text{ mm}^2$$

$$A_{s,\text{min}} = 933 \text{ mm}^2 \text{ soit } 10 \# 10$$

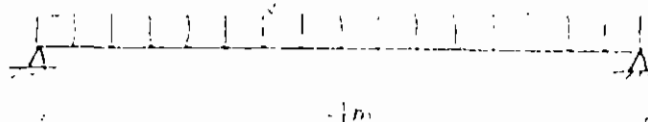
$$A_s < A_{s,\text{min}}$$

Nous mettrons donc la quantité d'acier minimale requise par $A_{s,\text{min}} = 10 \text{ barres } \text{no } 10$

Nous pouvons donc emmené à adopter le même type de poulie que le cadre intérieur en ne faisant varier que l' eccentricité.

ANNEXE V. 1^o Profils longitudinaux

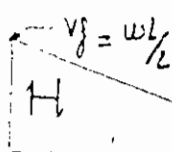
$$w = 11.73 \text{ KN/m}$$



moments

$$M_f = 39.46 \text{ KN.m} = \frac{wL^2}{8}$$

efforts tranchants



$$V_p = 39.46$$

Dans un premier temps nous essayons un profilé W250x22
Les calculs prouvent qu'un tel profilé ne convient pas...
Nous adoptons un profilé W200x31

Catalogue W200x31

$A = 4000 \text{ mm}^2$	$d = 210 \text{ mm}$	$d - 2t = 190 \text{ mm}$
$I_g = 4.1 \times 10^6 \text{ mm}^4$	$b = 134 \text{ mm}$	
$J_g = 119 \times 10^3 \text{ mm}^4$	$t = 10.2 \text{ mm}$	
$C_w = 60.9 \times 10^9 \text{ mm}^6$	$w = 6.4 \text{ mm}$	
$I_x = 31.4 \times 10^6 \text{ mm}^4$	$K = 20 \text{ mm}$	

IV. 1^o a Classe du profilé

serrage

$$\frac{b}{2t} = \frac{134}{2 \times 10.2} = 6.6 \quad \frac{145}{\sqrt{F_y}} = \frac{145}{\sqrt{260}} = 8.99$$

$$\frac{b}{2t} < \frac{145}{\sqrt{F_y}} \Rightarrow \text{serrage de classe 1}$$

$$\text{âme} \quad \frac{h}{w} = \frac{190}{6.4} = 29.68 \quad \frac{1370}{\sqrt{F_y}} = 84.96$$

$$\frac{h}{w} < \frac{1370}{\sqrt{F_y}} \Rightarrow \text{âme de classe 1}$$

Le profilé W200x31 est de classe 1

$$M_p = Z_x F_y = 335 \times 10^3 \times 260 = 87 \text{ kN.m}$$

$(Z_x \text{ en } \text{mm}^3 \quad F_y \text{ en MPa})$

Les éléments n'étant pas latéralement supportés nous calculons le moment ultime M_u

$$M_u = \frac{\pi}{w \times L} \sqrt{EI_y GJ + \left(\frac{\pi E}{L} \right)^2 I_y C_w}$$

$$M_u = \frac{\pi}{1 \times 4000} \sqrt{200,000 \times 4.1 \times 10^6 \times 37000 \times 119 \times 10^3 + \left(\frac{\pi \times 200,000}{4000} \right)^2 \times 4.1 \times 10^6 \times 60.4 \times 10^9}$$

$$M_u = 91.67 \text{ kN.m}$$

$$\frac{2}{3} M_p = 58 \text{ kN.m} \quad M_u > \frac{2}{3} M_p$$

$$\Rightarrow M_r = 1.15 \phi M_p \left(1 - \frac{0.28 M_p}{M_u} \right) = 66.116 \text{ kN.m}$$

$$M_r > M_f = 39.46 \text{ kN.m} \quad O.K$$

IV. 1^e b Contraintes normales transversales

wab crippling

$$\begin{aligned} B_n &= 1.25 \phi W (N+K) F_y \\ &= 1.25 \times 0.9 \times 6.4 (0+20) \times 260 \end{aligned}$$

$$B_n = 37.44 \text{ kN} \neq V_f = 39.46 \text{ kN}$$

On peut suggérer l'utilisation de plaques d'arceau de largeur N telle que

$$N+K > \frac{39.46 \times 10^3 \text{ N}}{1.25 \times 0.9 \times 6.4 \times 260}$$

$$N+K > 21 \text{ mm} \quad K = 20 \text{ mm}$$

$$N > 1 \text{ mm}$$

Ceci montre que la plaque d'arceau n'est presque pas nécessaire. Cependant pour question de sécurité on pourra utiliser des plaques d'arceau de largeur $N = 10 \text{ cm}$.

stabilité de l'âme

$$B_n = \phi \frac{115000}{(b/w)^2} [5.5 + (\gamma_b)^2] \times A$$

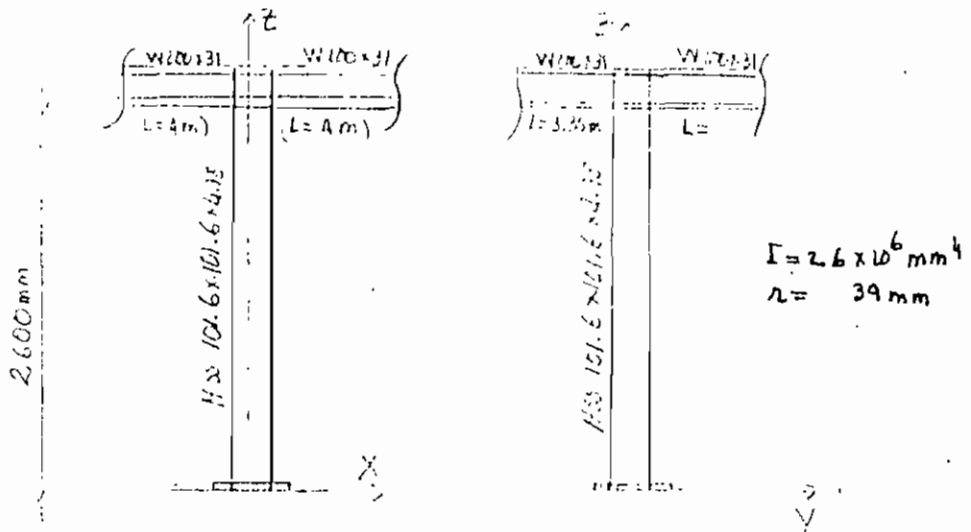
$$B_n = 0.9 \times \frac{115000}{\left(\frac{190}{6.4}\right)^2} [5.5 + 0] \times 4000$$

$$B_n = 2583.5 \text{ kN} > V_f \quad O.K$$

Ces dernières vérifications montrent que le profilé choisi convient. On pourra utiliser les mêmes types de profilés pour les profilés transversaux.

V. 2^e Etude des poteaux intérieurs

Les poteaux sont supposés être en compression simple.



Soit un profilé HSS 101.6 x 101.6 x 4.78

élément compact

$$\frac{b}{2t} = \frac{10.6}{2 \times 4.78} = 10.62$$

$$\frac{200}{\sqrt{F_y}} = \frac{200}{\sqrt{260}} = 12.4$$

$$\frac{b}{2t} < 12.4$$

$$G_L = 1.0 \quad (\text{rotule en bas})$$

Si la colonne flambé suivant YY ou XX

$$G_u \frac{\sum I_c / L_c}{\sum I_g / L_g} = 0.061$$

$$\text{avec } \frac{\sum I_c}{L_c} = \frac{2.7 \times 10^6}{2600} = 1.038 \times 10^3$$

$$\Sigma \frac{I_y}{L_y} = \frac{2 \times 31.4 \times 10^6}{4000} = 1.57 \times 10^4$$

(les poutres flambent suivant l', axe fort xx)

du monographie de l'appendice C8 page 99

$$\text{on obtient } K_y = 0.64 \quad \frac{K_y L}{r_y} = \frac{0.64 \times 2600}{39} = 43$$

Lorsque les poutres flambent suivant yy

$$\Sigma \frac{I_c}{L_c} = 1.038 \times 10^3$$

$$\Sigma \frac{I_y}{L_y} = \frac{31.4 \times 10^6}{3350} + \frac{31.4 \times 10^6}{600} = 6.17 \times 10^4$$

$$G_y = \frac{1.038 \times 10^3}{6.17 \times 10^4} = 0.02 \quad K_x = 0.63$$

$$\frac{K_x L}{r_x} = 42$$

$$\lambda = \frac{K_y L}{r_y} > \frac{K_x L}{r_x}$$

$$\lambda = \frac{K_y}{r_y} \times \left(\frac{F_y}{\pi^2 E} \right)^{1/2} = 43 \times \left(\frac{260}{\pi^2 \times 200,000} \right)^{1/2}$$

$$\lambda = 0.49 \text{ d'où } 0 < \lambda < 1$$

$$C_r = \phi A F_y (1.035 - 0.202\lambda - 0.222\lambda^2)$$

$$C_r = 365.604 \text{ KN}$$

Cette force est largement supérieure à la force de compression de 81.774 KN

Donc le profilé choisi convient.

BIBLIOGRAPHIE

Code National du Bâtiment du Canada

Code S16.1 M78

Érudit du Bâtiment : les charpentes métalliques (E. GUSTIN)

La Charpente métallique tome I et II de

P. LABARRAQUE

Guide des aciers de construction Stelco

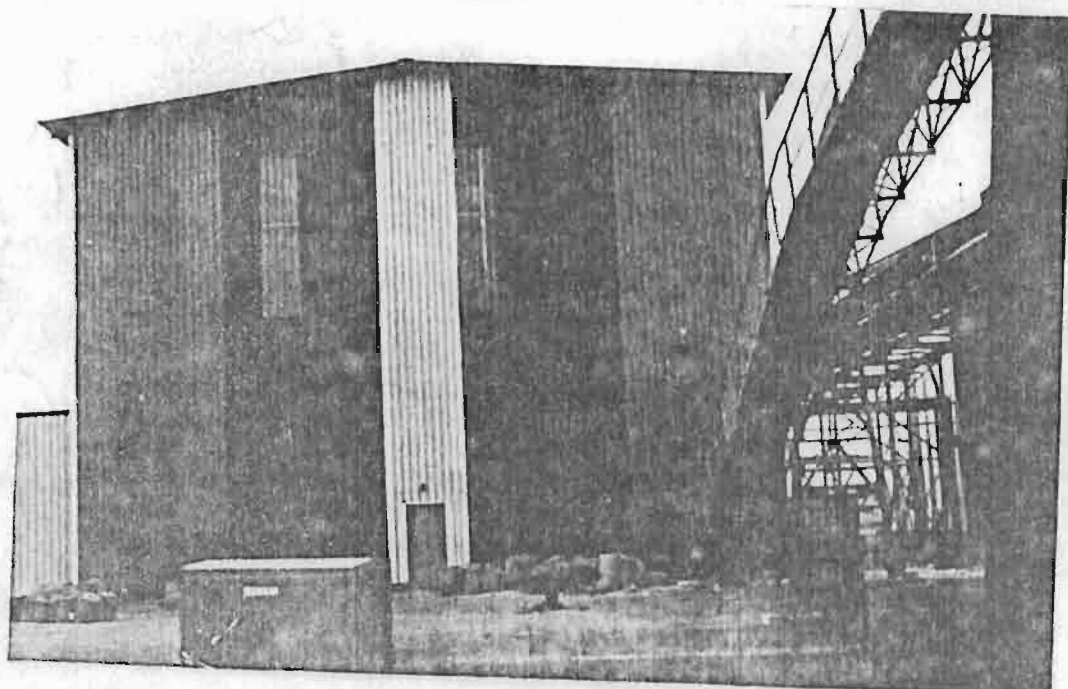
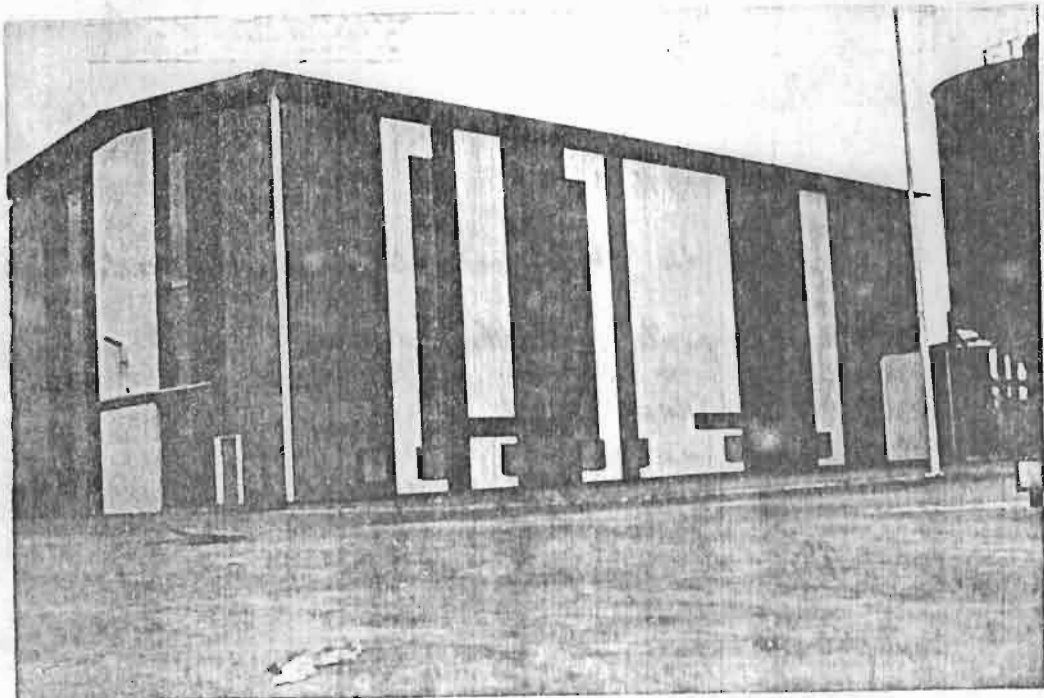
Manual Calculation for Beams and Columns Stelco

Technique de l'ingénieur C2 - construction métallique.

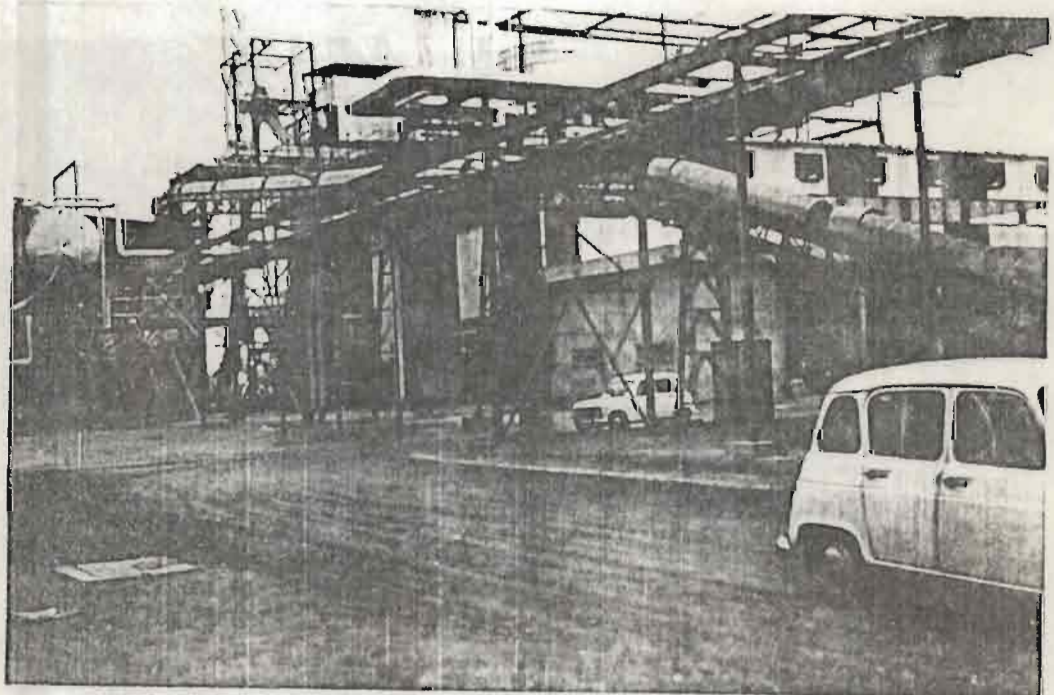
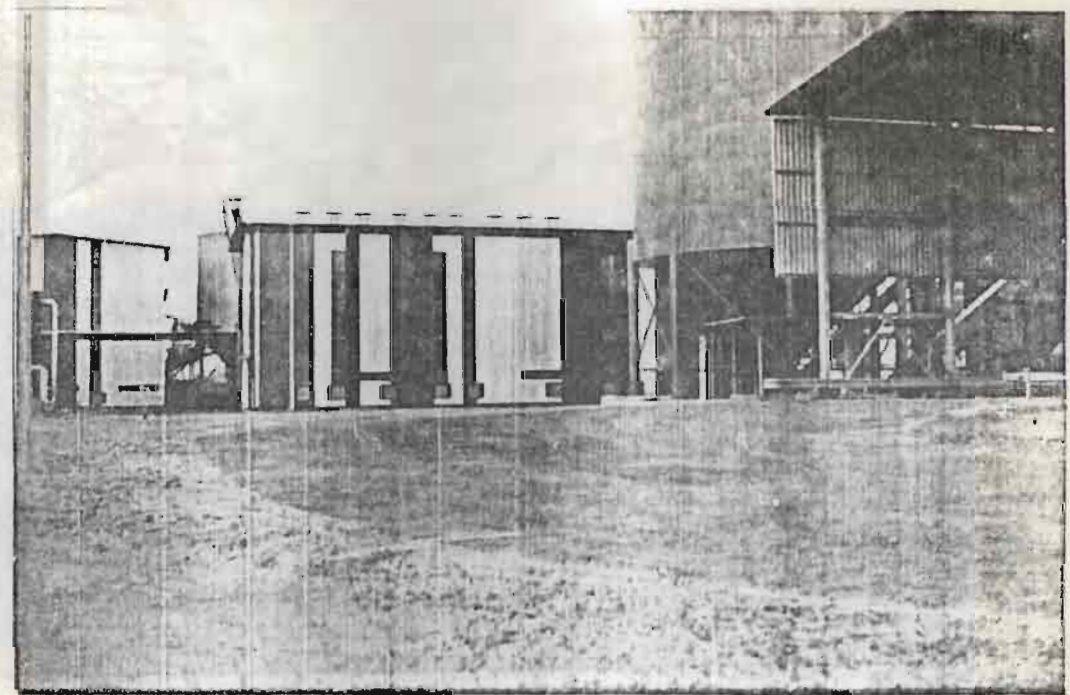
Notes de cours de M^e S.D. Poules C.M.

Règles de calcul des ouvrages en béton dans les bâtiments CAN3 A23.3-1977

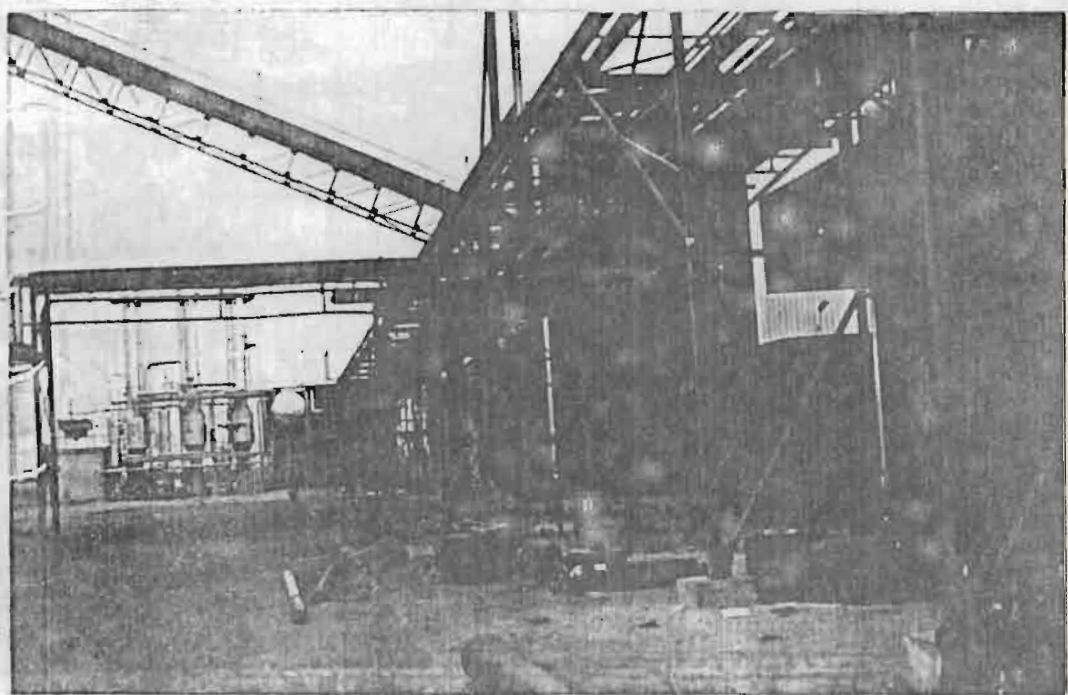
Notes de cours de M^e Roger Lepien



SEIB DE DIOURBEL: bâtiment de dé cortilage



SEIB DE DIUBEL : HUILERIE



SEIB DE DIOURBEL: HUILERIE